

МИНИСТЕРСТВО УГОЛЬНОЙ ПРОМЫШЛЕННОСТИ УССР
ДОНЕЦКИЙ НАУЧНО-ИССЛЕДОВАТЕЛЬСКИЙ УГОЛЬНЫЙ
ИНСТИТУТ
(Донуги)

РУКОВОДСТВО
ПО СОКРАЩЕНИЮ МНОГОЗВЕННОСТИ
ТРАНСПОРТИРОВАНИЯ УГЛЯ, ПОРОДЫ
И ПЕРЕВОЗКИ ЛЮДЕЙ НА ДЕЙСТВУЮЩИХ ШАХТАХ
МИНУГЛЕПРОМА УССР

Донецк 1982

МИНИСТЕРСТВО УГОЛЬНОЙ ПРОМЫШЛЕННОСТИ УССР
ДОНЕЦКИЙ НАУЧНО-ИССЛЕДОВАТЕЛЬСКИЙ УГОЛЬНЫЙ ИНСТИТУТ
(Донуги)

Утверждено
Минуглепромом УССР
14.05.82

РУКОВОДСТВО
ПО СОКРАЩЕНИЮ МНОГОЗВЕННОСТИ ТРАНСПОРТИРОВАНИЯ
УГЛЯ, ПОРОДЫ И ПЕРЕВОЗКИ ЛОДЕЙ НА ДЕЙСТВУЮЩИХ
ШАХТАХ МИНУГЛЕПРОМА УССР

Донецк 1982

УДК 622.6.002.2

Руководство содержит методический и справочный материал для разработки технически и экономически обоснованных рекомендаций по сокращению многозвенности транспорта угля, породы и перевозки людей на действующих шахтах.

Работа предназначена для работников шахт, производственных объединений, проектных организаций.

Составители: Н.Т.Чернобровец, В.В.Сухарев (Минуглепром УССР), Г.Я.Палант, С.Ю.Кравчинский, А.Н.Чупика, И.П.Осипенко, Н.В.Каложная, Н.Г.Ященко (Донуги).

I. Общие положения

I.I. "Руководство по сокращению многозвездности транспорта угля, породы и перевозки людей на действующих шахтах Минуглепрома УССР" предназначается для:

анализа пропускной способности всех звеньев подземного транспорта на действующих шахтах;

разработки рекомендаций по совершенствованию технологических схем подземного транспорта;

разработки программ (текущих и перспективных) развития и совершенствования подземного транспорта;

экономической оценки реализованных и планируемых технических решений по совершенствованию подземного транспорта.

I.2. Рекомендации по совершенствованию схем подземного транспорта должны предусматривать: сокращение многозвездности, ступенчатости, протяженности транспортных выработок, применение современного транспортного оборудования, повышение пропускной способности всех транспортных звеньев.

I.3. Разработка рекомендаций по совершенствованию подземного транспорта включает:

анализ горнотехнических условий работы транспорта и постановка задачи;

разработку рекомендаций по сокращению многозвездности транспорта;

рассмотрение и утверждение рекомендаций;

разработку проектной документации по сокращению многозвездности транспорта;

реализацию шахтами рекомендаций по сокращению многозвездности транспорта;

оказание шахтам технической помощи при выполнении работ по сокращению многозвездности транспорта;

определение достигнутого экономического эффекта от реализации рекомендаций по сокращению многозвездности транспорта.

2. Анализ горнотехнических условий работы транспорта

2.1. Анализ горнотехнических условий работы транспорта необходим для получения исходных данных выполнения технико-экономических расчетов, связанных с выявлением наиболее рационального варианта общегахтной схемы подземного транспорта с учетом перспектив развития горных работ.

2.2. Горнотехнические условия работы транспорта оцениваются следующими показателями:

протяженностью транспортирования;

размерами грузопотока угля;

размерами вспомогательного грузопотока (материалы, оборудование, породы и др.);

типов и количеством применяемого транспортного оборудования;

углом накла на выработок;

сечением выработок и типом крепи;

сроком службы выработок;

количеством перевозимых людей.

2.3. Протяженность транспортирования устанавливается на момент разработки мероприятий, а также на весь период разработки запасов, определяются максимальные длины выработок.

Схема транспортных выработок определяется по планам горных работ (программам работ на перспективу).

Размеры грузопотоков угля определяются по всем транспортным выработкам (от очистного забоя до околосвольного двора или до поверхности при наклонных стволах). При этом определяются фактические нагрузки на момент обследования, а также устанавливаются максимально возможные при развитии горных работ.

Определяются суточный и сменный грузопоток.

Размеры вспомогательного грузопотока (материалы, оборудование, порода от прохождения и поддержания горных выработок и другие грузы) устанавливается на момент обследования.

Кроме того, учитывается возможное увеличение грузопотока в результате предполагаемого изменения технологии работ в очистных и подготовительных забоях, увеличения нагрузки на лавы.

Угол наклона транспортных выработок (уклонов, бремсбергов, ходков) устанавливается при существующей и максимально возможной длине. Продольный профиль существующих горных выработок принимается по данным маркшейдерской съемки.

Срок службы транспортных выработок устанавливается на основании данных о перспективах разработки примыкающих запасов с учетом интенсификации отработки и увеличении нагрузки на очистные забои.

Предполагаемый максимальный срок службы является одним из показателей, определяющих выбор вида транспорта, поэтому он должен быть тщательно обоснован.

Сечения транспортных выработок, схемы транспортных узлов и узлов сопряжения принимаются в соответствии с фактическим положением. Необходимо оценить целесообразность перехода на новое сечение тех выработок, в которых предполагается замена транспортных средств. Одновременно решается вопрос о возможности использования существующих транспортных узлов (приемно-отправительных площадок, погрузочных пунктов и др.).

Показатели, характеризующие горнотехнические условия, в рекомендациях по сокращению многозвенности должны быть представлены в виде таблиц 2.1-2.4.

В результате выполненного анализа должны быть сформулированы главные задачи по сокращению многозвенности транспорта угля, породы, материалов и перевозки людей.

3. Разработка возможных вариантов сокращения многозвенности подземного транспорта

3.1. При разработке возможных вариантов транспорта математическим является определение наиболее технически и экономически целесообразного варианта схемы подземного транспорта шахты, предполагающего минимальное количество звеньев в системах транспорта угля, породы, вспомогательных грузов и людей.

3.2. При разработке возможных вариантов схем транспорта, обеспечивающих сокращение многозвенности, должно учитываться использование имеющихся на шахтах горных выработок, а также новых лицензий.

Таблица 2.1

Сведения по очистным забоям

Показатели	Наименование лав			

Суточная добыча $A_{сум}, \text{т}$ Вынимаемая мощность пласта $m, \text{ м}$ Объемный вес угля в целике $\bar{\tau}, \text{ т}/\text{м}^3$ Длина очистного забоя $L_{рз}, \text{ м}$

Тип выемочной машины

Количество рабочих циклов машины в смену $N, \text{ цикл}$ Коэффициент машинного времени k_m

Глубина захвата , м

Режим работы очистного забоя

Тип скребкового конвейера

Максимальный минутный грузопоток $P_{max}, \text{ т}/\text{мин}$

Таблица 2.2

Сведения о локомотивной откатке (по каждому маршруту)

Маршрут	Дли-	Сменный грузопо-	Режим	Тип	Чис-	Тип	Коэф-	Продолжитель-	При-					
	на	ток по маршруту,	работы	локо-	ло	ваго-	фици-	ность маневро-						
	мар-	т	локомотив-	моти-	моти-	нет-	ент	вых операций,	ме-					
	шру-	Уголь ! Поро-	Мате-	локот-	локот-	ваго-	фици-	мин	ч-					
	та,	да	риа-	ной	ки	на	ент	на	ка					
	м		лы	откат-	ки	на	ент	на	ка					
I	1	2	3	4	5	6	7	8	9	10	II	11	12	13

Таблица 2.3

Сведения о конвейерном транспорте (конвейеры в каждой выработке рассматривались последовательно по направлению перемещения грузов)

Конвейеризированная выработка	Длина выработки, м	Угол наклона выработки, град	Сечение выработки в свету, м ²	Тип и количество конвейеров в выработке, т/сут	Максимальный грузопоток по конвейерам в выработке, т/сут	Режим работы выработки	Срок службы выработки, лет	Примечание
1	2	3	4	5	6	7	8	9

Таблица 2.4

Сведения о транспорте по наклонным выработкам
(концевой канатной откатке или откатке бесконечным канатом)

Выработка	Протя- жен- ность тран- спор- тиро- вания, м	Угол наклона выработки и граничны- е, градусы	Тип подъем- ной ма- шины	Ре- зуль- тирую- щая ко- личес- твенно- сть подъ- ема по ли- ни- и	Тип и грубо- стность подъем- ного вагонет- ка, т	Коли- чество- ности ваго- нок в составе, шт.	Продо- житель- ность подгото- витель- но-зап- асочного пере- хода, м	Ско- рость откат- ки (ско- рость движе- ния каната, м/с)	Суммар- ная про- должи- тель- ность шахты за рабочий период, мин	Коэффи- циент нерав- номер- ности работы тран- спор- тной установ- ки
	I	II	III	IV	V	VI	VII	VIII	IX	XI

При этом выработки должны выполнять предполагаемые функции без отступления от Правил безопасности и "Норм технологического проектирования угольных шахт".

В ряде случаев для сокращения многозвездности в системах транспорта для угля, породы, вспомогательных материалов и людей необходимо предусматривать проведение новых стволов.

В качестве средств транспортирования должно приниматься, как правило, оборудование, выпуск которого наложен или будет освоен к сроку пуска объекта (срок окончания модернизации или реконструкции). При проработке вариантов по возможности следует учитывать существующее оборудование, если оно обеспечивает заданные нагрузки и находится в удовлетворительном состоянии.

В качестве средств транспортирования угля по наклонным выработкам должны приниматься, как правило, ленточные конвейеры новых типов. Для перевозки людей необходимо предусматривать одноконцевые канатные откатки, грузоделовые монорельсовые дороги, моноканатные дороги кресельного типа. В качестве вспомогательного транспорта должны применяться одноконцевые канатные откатки, грузовые монорельсовые и напочвенные дороги.

В качестве вспомогательного транспорта по горизонтальным выработкам должна быть рассмотрена целесообразность применения монорельсовых дорог с электрическим и дизельным приводом, напочвенных дорог, откатки электровозами и гибовозами.

4. Порядок выбора и расчета транспортного оборудования

4.1. Технологические схемы каждого рассматриваемого варианта основного и вспомогательного транспорта разбиваются на отдельные расчетные звенья (например, погрузочный пункт под лавой, конвейерный штрек, уклон, погрузочный пункт на магистральном штреке, электровозный транспорт по магистральному штреку и т.д.) с целью решения задачи выбора рационального оборудования.

4.2. Выбор транспортного оборудования по расчетным звеньям для каждого варианта следует производить в соответствии с технической областью его применения (табл.4.1).

Таблица 4. I

Оборудование для подземного транспорта, рекомендуемое для промышленного применения в XI пятилетке

Ленточные конвейеры	Область применения	Год основания серийного производства	Заменяемое оборудование	
			I	2
Выработки с углом наклона, град				
LIA80У	от - 10 до + 10	1982	KLA50A2, KLI50У2, LIA80	
2L80У	от - 16 до + 18	To же	2L80, LIE80	
2L80У-О1	от -33 до + 18	-"-	2L80	
Участковые выработки с углом наклона, град				
2LT80У	от - 10 до + 10	-"-	LIT80, 2LT80	
2LT80У-О1	от - 3 до + 10	-"-	LIT80, 2LT80	
При проведении выработок с углом наклона, град				
2L80У	от - 10 до + 10	-"-	-	
Выработки с углом наклона, град				
LII00У	от - 3 до + 10	1983	KLA250, LII00K	
LII00У-О1	от - 6 до + 18	To же	KLA250, LII00K	
2LII00У	от - 10 до + 18	-"-	LII00, LIB100, LIU100	
2LII00У-О1	от - 3 до + 18	-"-	LII00, LIU100, LIY100	

■

Продолжение табл.4.1

I	I	2	3	1	4
Участковые выработки с углом наклона, град					
2ЛТ100У	от - 10 до + 10		1983	ЛТ100	
2ЛТ100У-О1	от - 3 до + 10		То же	ЛТ100	
Выработки с углом наклона, град					
3Л100У	от - 3 до + 18		"-	2ЛУ100	
Участковые выработки с углом наклона, град					
3ЛТ100У	от - 12 до + 10		"-	2ЛТ100	
Капитальные выработки с углом наклона, град					
2ЛУ120	от 0 до + 18		1975	-	
2ЛБ120	от - 3 до - 16		1977	-	
2ЛУ120А, Б, В	от 0 до + 18				
Наклонные стволы с углами наклона + 18 град					
Аккумуляторные электровозы	Транспортирование составов в шахтах, опасных по пыли и газу		1973	-	
АРП14	По главным откаточным выработкам действующих новых высокопроизводительных шахт		1982	ИЗАРП, ЗАМЗД	
АРП10	По главным откаточным выработкам действующих и новых шахт средней и малой производительности		То же	АМЗД	
2А8	По главным и участковым откаточным выработкам реконструируемых и действующих шахт	"-		ИЗАРП, ЗАМЗД	

Продолжение табл.4.1

I	II	2	I	3	I	4
АРН7	По участковым откаточным выработкам		1982	4,5 АРН		
АРВ7	По вентиляционным и подготовительным выработкам		То же	5АРВ		
Контактные электровозы	Транспортирование составов в шахтах, не опасных по газу или пыли, а также в шахтах I и II категорий по газу или пыли					
K14	По главным откаточным выработкам высокопроизводительных шахт		1979			
K10	По главным и участковым откаточным выработкам малой и средней производительности		То же			
K7	По участковым выработкам		1977			
Шахтные вагонетки и секционные поезда						
БДК2,5	Транспортирование угля и породы по главным выработкам с колеей рельсового пути 900 мм	1982	БГ2,5; БГ3,3; БЛ3,3			
ПС3,5	Транспортирование угля по главным откаточным выработкам с колеей рельсового пути 900 мм	То же	БГ2,5; БГ3,3; БЛ3,3			
ПС1,5	Транспортирование угля по главным откаточным выработкам с колеей рельсового пути 600 мм	—“—	БГ1,4; БГ1,6			
БДК1,5	Транспортирование угля и породы по выработкам с колеей рельсового пути 600 мм	1984	БГ1,4; БГ1,6			
Г3						

4.3. Конвейерный транспорт

При разработке технических решений по снижению многозвенности конвейерного транспорта ставится задача максимально использовать техническую возможность существующих конвейеров и обеспечить наиболее эффективное их использование в конкретно рассматриваемых условиях, в частности, необходимо добиваться максимального сокращения числа конвейерных установок в конвейерных линиях.

Расчет конвейерного транспорта включает:

выбор рационального типа конвейера для конкретно рассматриваемых условий применения;

установление параметров конвейерной установки: длины конвейеров в зависимости от требуемой эксплуатационной производительности и угла наклона выработки;

определение пропускной способности конвейерной линии (конвейерной установки).

Выбор типа конвейера следует производить из условия, чтобы приемная способность конвейера была равна или больше максимальной минутной производительности обслуживаемых очистных забоев.

При этом приемная способность конвейера, обслуживающего две и более лавы, должна быть равна или больше суммы максимальных минутных грузопотоков из лав, умноженной на вероятностный коэффициент 0,8 (две лавы) или 0,75 (три лавы).

Максимальный минутный грузопоток от очистного забоя определяется

$$P_{max} = m \delta v_{max} \delta, \psi_n \delta_y, \text{т/мин},$$

где m - мощность пласта, м; δ - ширина захвата выемочной машины, м; δ - расчетный коэффициент, учитывающий направление движения выемочной машины; ψ_n - коэффициент погрузки, учитывающий схему работы выемочной машины; δ_y - средняя плотность угля в целике, т/м³.

Значение коэффициента δ следует рассчитывать по формуле

$$\delta = \frac{v_k}{v_k + v_{max}},$$

где v_k - скорость рабочего органа заг

конвейера, м/мин.

Величина ψ_n устанавливается по табл. 4.2.

Таблица 4.2

Ширина захвата, м	Значения коэффициента ψ_n при вынимаемой мощности пласта, м									
	0,8	1,0	1,2	1,4	1,6	2,0	2,4	2,8	3,2	3,6
0,50	0,47	0,55	0,62	0,68	0,72	0,78	0,82	0,84	0,86	0,88
0,63	0,36	0,48	0,57	0,63	0,68	0,74	0,79	0,82	0,84	0,86
0,80	0,28	0,40	0,50	0,57	0,62	0,70	0,75	0,79	0,81	0,83

При выборе типа конвейера следует ориентироваться на конвейер, имеющий меньшую ширину ленты.

Для определения в конкретно рассматриваемых условиях допустимой длины конвейерной установки определяется часовая эксплуатационная производительность конвейера (т/ч)

$$Q_3 = 60 P_{cp.m}, \text{ т/ч},$$

$P_{cp.m}$ – средний минутный грузопоток из одного или нескольких очистных забоев, поступающий на конвейер, т.

Средний минутный грузопоток из очистного забоя рассчитывается

$$P_{cp} = \frac{A_{cm}}{60 T_{cm} K_n}, \text{ т/мин},$$

где A_{cm} – сменная добыча из очистного забоя, т; T_{cm} – продолжительность смены по добыче, ч; K_n – коэффициент времени поступления угля из одного очистного забоя на конвейерную установку

$$K_n = K_m + \frac{t_3}{60 T_{cm}},$$

где K_m – коэффициент машинного времени работы комбайна; t_3 – продолжительность зачистки забоя при обратном ходе машины в течение смены, мин.

Значение коэффициента K_m принимать по фактическим данным шахты или рассчитывать по формуле

$$K_m = \frac{0,11 A_{cm}}{100 + 0,11 A_{cm}}.$$

Значение t_3 определять

$$t_3 = \frac{L_{o,3} N}{0,7 V_{max}},$$

где $L_{o,3}$ – длина очистного забоя, м; N – число циклов выемочной машины в смену; V_{max} – максимальная маневровая скорость машины, м/мин.

По заводским характеристикам конвейеров в зависимости от эксплуатационной производительности и угла наклона выработки устанавливается максимально допустимая длина конвейерной установки в конкретно рассматриваемых условиях его применения (приложение I, рисунки I-28).

Суточную пропускную способность конвейера (конвейерной линии) рассчитывать по формуле

$$Q_{\text{сум}} = \frac{\varrho_s (T_{\text{сп}} - T_{\text{н.з}}) n}{K}, \quad \text{т,}$$

где ϱ_s – часовая эксплуатационная производительность конвейера, т/ч; $T_{\text{сп}}$ – продолжительность подготовительно-заключительных операций, ч; n – число смен работы конвейера; K – коэффициентнеравномерности работы конвейерного транспорта.

4.4. Электровозная откатка

Расчет производительности электровозной откатки включает:
выбор типа локомотива и вагонетки в соответствии с их технической областью применения;

расчет сменной производительности электровоза;

определение необходимого количества электровозов для обеспечения перевозки угля, породы и вспомогательного груза.

Рациональный тип локомотива и подвижного состава в рассматриваемых условиях устанавливается по данным табл. 4.1.

Сменная производительность электровозов определяется с использованием графиков, приведенных в приложении 2 на рисунках I-19.

Графики построены с учетом следующих исходных данных: продолжительность рабочей смены шесть часов; коэффициент сцепления колес электровозов с рельсами $\psi = 0,13$; продолжительность маневровых операций 15 и 40 минут.

Порядок определения сменной производительности электровозов по графикам рисунков I-19 следующий.

Для принятого типа электровоза в вагонетки по соответствующему графику в зависимости от заданной длины откатки определяется сменная производительность электровоза (P_s). Если в рассматриваемых условиях коэффициент сцепления меньше или больше 0,13, сменная производительность, полученная по соответствующему графику, умножается на поправочный коэффициент табл. 4.3.

Сменная производительность электровоза при продолжительности маневровых операций в пределах 15–45 мин определяется по графику путем интерполяции.

Таблица 4.3

Поправочные коэффициенты, учитывающие изменение сменной производительности электровозов в зависимости от условий сцепления колеса электровоза с рельсами

Тип электровоза	Коэффициент сцепления	Значения поправочных коэффициентов при емкости вагонеток, м ³		
		1,3–1,6	2,5	3,3
AM8 и 2AM8	0,07	0,77	0,70	0,64
	0,09	0,93	0,87	0,84
	0,24	1,06	1,00	1,00
13APII	0,07	–	0,74	0,69
	0,09	–	0,95	0,89
	0,24	–	1,00	1,00
APII4 и APII28	0,07	–	0,76	0,68
	0,09	–	0,95	0,86
	0,24	–	1,00	1,00
10KP, K10	0,07	0,63	0,56	0,52
	0,09	0,83	0,74	0,69
	0,24	1,00	1,00	1,00
14KP, K14	0,07	–	0,50	0,50
	0,09	–	0,67	0,67
	0,24	–	1,10	1,20

При длительности рабочей смены более шести часов сменная производительность электровоза, установленная по графикам, умножается на поправочный коэффициент k_t , который рассчитывается

$$k_t = \frac{T_{\text{см. ф}}}{T_{\text{см. расч}}},$$

где $T_{\text{см. ф}}$ – фактическая продолжительность рабочей смены, ч;

$T_{\text{см. расч}}$ – расчетная длительность рабочей смены, ч

$$T_{\text{см. расч}} = 6 \text{ ч}$$

Число электровозов определяется по формуле

$$N = \frac{A_{\text{сум}}}{n_{\text{см}} p_3},$$

где A_{cym} – суточный грузопоток по выработке, т/сут; n_{cm} – число смен работы электровозной откатки; P_3 – сменная производительность электровоза, т/смен.

4.5. Вспомогательный транспорт

Во всех выработках, предназначенных для доставки вспомогательных грузов и перевозки людей, должны быть предусмотрены средства вспомогательного транспорта – канатные откатки, монорельсовые и напочвенные дороги.

Для освоения массового производства монорельсовых и напочвенных дорог необходимых типов и типоразмеров допускается использование в качестве средств вспомогательного транспорта доставочных установок (ДУ).

На действующих шахтах, имеющих многоступенчатые схемы вспомогательного транспорта, в качестве наиболее координального решения следует предусматривать углубку действующих и прохождение новых вспомогательных вертикальных стволов.

Производительность откатки одноконцевым канатом в вагонетках следует определять из выражения

$$Q_3 = \frac{(T - T_{n,3}) \eta_{cp} N_{cm}}{(2L + t_m) K_n}, \text{ т/сут,}$$

где T – продолжительность рабочей смены, мин; $T_{n,3}$ – продолжительность подготовительно-заключительных операций, мин (30–40 мин в смену); η_{cp} – грузоподъемность вагонетки, т; n – количество вагонеток в составе; N_{cm} – количество рабочих смен; L – протяженность откатки, м; v_{cp} – скорость откатки по наклонной выработке (скорость движения каната), м/с; t_m – продолжительность маневров на приемно-отправительных станциях, мин; K_n – коэффициент неравномерности работы транспортной установки: 2,0–2,5 – для участковых транспортных звеньев; 1,25–1,5 – при наличии аккумулирующих емкостей.

Количество вагонеток (платформ) в составе (n) определяется из условия прочности сцепки.

Для грузового подъема

$$n \leq \frac{P_{cu}}{(G - G_o)(W' \cos \alpha_{max} + \sin \alpha_{max})},$$

где P_{cu} – допустимое усилие на сцепке; G – масса груза, кг;

G_o – масса тары вагонеток (платформ), кг; W' – коэффициент сопротивления движению вагонеток; α_{max} – максимальный угол наклона рельсовых путей, град.

Полученное количество вагонеток (платформ) округляется до ближайшего меньшего числа. При этом по условиям эксплуатации рекомендуется при грузовых подъемах принимать:

$$n \leq 12 + 15 \text{ при } l_s \leq 2700 \text{ мм;}$$

$$n \leq 8 + 10 \text{ при } l_s \geq 2800 \text{ мм}$$

(l_s - длина вагонетки, платформы).

Для пассажирского подъема

$$n \leq \frac{l_{eq}}{(90n_p + G_p)(W' \cos \alpha_{max} + \sin \alpha_{max})},$$

где 90 - средняя масса одного пассажира, кг; n_p - количество посадочных мест в одной вагонетке.

Количество пассажирских вагонеток рекомендуется принимать не более величин, приведенных в табл. 4.4.

Таблица 4.4.

Максимальный угол наклона выработки, град	Тип вагонетки			ВЛН-3
	ВЛН-1	ВЛН-2	ВЛН-3	
до 19	5	5	-	
22	4	4	-	
30-35	3	3	-	
40-80	-	2	2	

4.6. Погрузочные пункты

На всех полустационарных и стационарных погрузочных пунктах должна быть предусмотрена механизация и автоматизация основных и вспомогательных процессов за счет применения автоматизированных погрузочных комплексов. При погрузке из бункера погрузочный пункт должен оборудоваться питателями.

Все передвижные погрузочные пункты при электровозной откатке должны оборудоваться перекрываемелями межвагонного пространства и толкательями.

Целевое развитие на погрузочных пунктах должно строго соответствовать утвержденным нормативам [1].

4.7. Результаты выбора и расчета транспортного оборудования при существующей схеме транспорта и в рассматриваемых возможных вариантах сокращения многозвездности транспорта сводятся в табл. 4.5.

Таблица 4.5

Варианты технологических схем транспорта	Транспортные звенья	Расстояние доставки (откатки), м	Данные о грузопотоке		Транспортное оборудование	
			Уголь, порода и т.д.	Величина, т/сут	Тип	Количество
Существующая схема (базовый вариант)						
Вариант 1						
Вариант 2						
и т.д.						

5. Расчет технико-экономических показателей возможных вариантов сокращения многозвездности транспорта и выбор наиболее эффективного варианта

5.1. Выбор рационального варианта технологической схемы, предусматривающей сокращение многозвездности транспорта, производится по следующим технико-экономическим показателям:

- суточные эксплуатационные расходы;
- суточные приведенные затраты;
- капитальные затраты;
- величина штата обслуживающего персонала.

Для каждого транспортного (табл.4.5) звена по таблицам 5.1-5.12 определяются перечисленные выше технико-экономические показатели.

Кроме указанных технико-экономических показателей по каждому варианту необходимо учитывать:

расходы, связанные с расширением существующих выработок или проведением новых, а также затраты на поддержание выработок при замене транспортных средств в условиях действующих шахт;

затраты, связанные с дополнительными объемами проведения транспортных выработок, когда сечения выработок определяются габаритами транспортных средств;

Таблица 5.1.

Конвейерный транспорт

Экономические показатели	Формулы для определения экономических показателей при доставке	
	по участковым выработкам	по главным выработкам
Суточные эксплуатационные расходы C_3 , руб.	$56,2 + [48,6 + 0,0012 C_2 + 3,3 \bar{U} + 7,14 \frac{L_B}{t_n} + A_{sym}(0,001 + 0,18 \sin \beta)] L_B + (0,0012 C_2 + 0,075 N) \frac{L_B}{t_n}$	$59,3 + [54,9 + 0,0008 C_3 + 3,3 \bar{U} + 7,14 \frac{C_1}{t_n} + A_{sym}(0,001 + 0,18 \sin \beta)] L_B + (0,0008 C_3 + 0,075 N) \frac{C_1}{t_n} + 0,27 (\bar{U}_1 + \bar{U}_2 \frac{L_B}{t_n} - U_E)$
Суточные приведенные затраты \bar{Z}_p , руб.	$56,7 + [48,6 + 0,0014 C_2 + 3,3 \bar{U} + 7,14 \frac{C_1}{t_n} + 1,1 C_1 + A_{sym}(0,001 + 0,18 \sin \beta)] L_B + (0,0014 C_2 + 0,001 C_1 + 0,001 C_1 + 0,078 N) \frac{L_B}{t_n}$	$59,8 + [54,9 + 0,0014 C_3 + 3,3 \bar{U} + 7,14 \frac{C_1}{t_n} + (1 C_1 + A_{sym}(0,001 + 0,18 \sin \beta)] L_B + (0,0014 C_3 + 0,001 C_1 + 0,078 N) \frac{C_1}{t_n} + (0,1 - 0,003 t_B)(\bar{U}_1 + \bar{U}_2 \frac{L_B}{t_n} - U_E)$
Капитальные затраты по оборудованию k , руб.	$940 + 1,3 C_3 L_B + \frac{L_B}{t_n} (1100 + 1,25 C_2 + 6,9 N)$	
на ленту		$C_1 (2140 L_B + 21,4 \frac{L_B}{t_n})$
по горным работам		$80 (\bar{U}_1 + \bar{U}_2 \frac{L_B}{t_n} - U_E)$
Явочный состав на работе, чел.		$4,5 + 3,9 L_B + 0,02 \frac{L_B}{t_n}$

Обозначения, принятые в формулах:

- A_{sym} — суточный грузопоток, т
 L_B — протяженность доставки, км
 β — угол наклона выработки, град.
 t_n — срок службы ленты, лет
 t_B — срок службы выработки, лет
 C_1 — оптовая цена 1 м ленты, руб.
 C_2 — стоимость узлов конвейера, не зависящая от его длины, руб.

- \bar{U}_1 — стоимость 1 кмузлов конвейера, зависящих от его длины, руб.
 \bar{U} — скорость движения ленты, м/с
 t_n — длина става конвейера, км
 \bar{U}_1 — объем камеры приводной и натяжной станции, м³
 \bar{U}_2 — объем камеры промежуточной станции, м³
 N — мощность электродвигателя, кВт

Таблица 3.2

Тип конвейера	Место установки	Суточные эксплуатационные расходы, C_s , руб	Суточные приведенные затраты, C_p , руб	Капитальные затраты, к.руб.				Явочный состав на работе чел/сум	
				Всего	в том числе				
					по оборудованию	по горноработам	на ленту		
1	2	3	4	5	6	7	8	9	
КЛ-1	Участковые выработки	$54,2 + (74 + 7 \frac{C_1}{t_n} + 0,18 \sin \beta A_{cyc}) L_s$ + 18 $\frac{L_s}{t_n}$	$54,7 + (86 + 7 \frac{C_1}{t_n} + 0,18 \sin \beta A_{cyc}) +$ $+ (1,1 C_1) L_s + (24 + 0,001 C_1) \frac{L_s}{t_n}$	$940 + 22100 L_s + 19070 \frac{L_s}{t_n} +$ $+ C_1 (2140 L_s + 21,4 \frac{L_s}{t_n})$	$940 + 22100 L_s +$ $+ 13470 \frac{L_s}{t_n}$	$5600 \frac{L_s}{t_n}$	$C_1 (2140 L_s + 21,4 \frac{L_s}{t_n})$	$4,5 + 3,9 L_s +$ $+ 0,02 \frac{L_s}{t_n}$	
КЛ-150А	Участковые выработки	$54,2 + (70 + \frac{C_1}{t_n} + 0,18 \sin \beta A_{cyc}) L_s$ + 6,2 $\frac{L_s}{t_n}$	$54,7 + (78 + 7 \frac{C_1}{t_n} + 0,18 \sin \beta A_{cyc}) +$ $+ (1,1 C_1) L_s + (8 + 0,001 C_1) \frac{L_s}{t_n}$	$940 + 16380 L_s + 4750 \frac{L_s}{t_n} +$ $+ C_1 (2140 L_s + 21,4 \frac{L_s}{t_n})$	$940 + 16380 L_s +$ $+ 4750 \frac{L_s}{t_n}$	—	$C_1 (2140 L_s + 21,4 \frac{L_s}{t_n})$	$4,5 + 3,9 L_s +$ $+ 0,02 \frac{L_s}{t_n}$	
КЛ-150У	Участковые уклоны	$54,2 + (70 + 7 \frac{C_1}{t_n} + 0,18 \sin \beta A_{cyc}) L_s$ + 6,8 $\frac{L_s}{t_n}$	$54,7 + (78 + 7 \frac{C_1}{t_n} + 0,18 \sin \beta A_{cyc}) +$ $+ (1,1 C_1) L_s + (8,8 + 0,001 C_1) \frac{L_s}{t_n}$	$940 + 16380 L_s + 1770 \frac{L_s}{t_n} +$ $+ C_1 (2140 L_s + 21,4 \frac{L_s}{t_n})$	$940 + 16380 L_s +$ $+ 1770 \frac{L_s}{t_n}$	—	$C_1 (2140 L_s + 21,4 \frac{L_s}{t_n})$	$4,5 + 3,9 L_s +$ $+ 0,02 \frac{L_s}{t_n}$	
КЛА-250	Участковые выработки	$54,2 + (74 + 7 \frac{C_1}{t_n} + 0,18 \sin \beta A_{cyc}) L_s$ + 14 $\frac{L_s}{t_n}$	$54,7 + (83 + 7 \frac{C_1}{t_n} + 0,18 \sin \beta A_{cyc}) +$ $+ (1,1 C_1) L_s + (18,4 + 0,001 C_1) \frac{L_s}{t_n}$	$940 + 20800 L_s + 15110 \frac{L_s}{t_n} +$ $+ C_1 (2140 L_s + 21,4 \frac{L_s}{t_n})$	$940 + 20800 L_s +$ $+ 10310 \frac{L_s}{t_n}$	$4800 \frac{L_s}{t_n}$	$C_1 (2140 L_s + 21,4 \frac{L_s}{t_n})$	$4,5 + 3,9 L_s +$ $+ 0,02 \frac{L_s}{t_n}$	
1П-80	Участковые выработки	$54,2 + (89 + 7 \frac{C_1}{t_n} + 0,18 \sin \beta A_{cyc}) L_s$ + 13 $\frac{L_s}{t_n}$	$54,7 + (76 + 7 \frac{C_1}{t_n} + 0,18 \sin \beta A_{cyc}) +$ $+ (1,1 C_1) L_s + (18,4 + 0,001 C_1) \frac{L_s}{t_n}$	$940 + 14950 L_s + 2440 \frac{L_s}{t_n} +$ $+ C_1 (2140 L_s + 21,4 \frac{L_s}{t_n})$	$940 + 14950 L_s +$ $+ 2440 \frac{L_s}{t_n}$	—	$C_1 (2140 L_s + 21,4 \frac{L_s}{t_n})$	$4,5 + 3,9 L_s +$ $+ 0,02 \frac{L_s}{t_n}$	
1ПТ-80	Участковые выработки	$54,2 + (89 + 7 \frac{C_1}{t_n} + 0,18 \sin \beta A_{cyc}) L_s$ + 42 $\frac{L_s}{t_n}$	$54,7 + (76 + 7 \frac{C_1}{t_n} + 0,18 \sin \beta A_{cyc}) +$ $+ (1,1 C_1) L_s + (61,2 + 0,001 C_1) \frac{L_s}{t_n}$	$940 + 14950 L_s + 41690 \frac{L_s}{t_n} +$ $+ C_1 (2140 L_s + 21,4 \frac{L_s}{t_n})$	$940 + 14950 L_s +$ $+ 41690 \frac{L_s}{t_n}$	—	$C_1 (2140 L_s + 21,4 \frac{L_s}{t_n})$	$4,5 + 3,9 L_s +$ $+ 0,02 \frac{L_s}{t_n}$	
2П-80	Участковые выработки	$54,2 + (89 + 7 \frac{C_1}{t_n} + 0,18 \sin \beta A_{cyc}) L_s$ + 39 $\frac{L_s}{t_n}$	$54,7 + (76 + 7 \frac{C_1}{t_n} + 0,18 \sin \beta A_{cyc}) +$ $+ (1,1 C_1) L_s + (68 + 0,001 C_1) \frac{L_s}{t_n}$	$940 + 14950 L_s + 40860 \frac{L_s}{t_n} +$ $- C_1 (2140 L_s + 21,4 \frac{L_s}{t_n})$	$940 + 14950 L_s +$ $+ 36040 \frac{L_s}{t_n}$	$4800 \frac{L_s}{t_n}$	$C_1 (2140 L_s + 21,4 \frac{L_s}{t_n})$	$4,5 + 3,9 L_s +$ $+ 0,02 \frac{L_s}{t_n}$	
КРУ-260	Участковые выработки	$54,2 + (75 + 7 \frac{C_1}{t_n} + 0,18 \sin \beta A_{cyc}) L_s$ + 34 $\frac{L_s}{t_n}$	$54,7 + (86 + 7 \frac{C_1}{t_n} + 0,18 \sin \beta A_{cyc}) +$ $+ (1,1 C_1) L_s + (65 + 0,001 C_1) \frac{L_s}{t_n}$	$23400 L_s - 5460 + 47590 \frac{L_s}{t_n} +$ $+ C_1 (2140 L_s + 21,4 \frac{L_s}{t_n})$	$940 + 23400 L_s +$ $+ 23590 \frac{L_s}{t_n}$	$24000 \frac{L_s}{t_n}$	$C_1 (2140 L_s + 21,4 \frac{L_s}{t_n})$	$4,5 + 3,9 L_s +$ $+ 0,02 \frac{L_s}{t_n}$	

Продолжение табл. 5.2

1	2	3	4	5	6	7	8	9
1П-100	Участковые выработки	$58,2 + (80 + 7 \frac{L_s}{t_n} + 0,18 \sin \beta A_{sym}) L_s + 73 \frac{L_s}{t_n}$	$54,7 + (83,5 + 7 \frac{L_s}{t_n} + 0,18 \sin \beta A_{sym}) L_s + (1C_1) L_s + (0,02 + 0,001C_1) \frac{L_s}{t_n}$	$94,0 + 28500 L_s + 72080 \frac{L_s}{t_n} + C_1 (2140 L_s + 21,4 \frac{L_s}{t_n})$	$94,0 + 28600 L_s + 62480 \frac{L_s}{t_n}$	$96,00 \frac{L_s}{t_n} C_1 (2140 L_s + 21,4 \frac{L_s}{t_n})$	$4,5 + 3,9 L_s + 0,02 \frac{L_s}{t_n}$	
	Главные выработки	$59,3 + (78 + 7 \frac{L_s}{t_n} + 0,18 \sin \beta A_{sym}) L_s + 53,4 \frac{L_s}{t_n} + 32,6 \frac{L_s}{t_n t_s}$	$59,8 + (87 + 7 \frac{L_s}{t_n} + 0,18 \sin \beta A_{sym}) L_s + (1C_1) L_s + (93 + 0,001C_1) \frac{L_s}{t_n} - 48 \frac{L_s}{t_n t_s}$					
1П-100К	Участковые выработки	$54,2 + (77 + 7 \frac{L_s}{t_n} + 0,18 \sin \beta A_{sym}) L_s + 26 \frac{L_s}{t_n}$	$54,7 + (89 + 7 \frac{L_s}{t_n} + 0,18 \sin \beta A_{sym}) L_s + (1C_1) L_s + (354 + 0,001C_1) \frac{L_s}{t_n}$	$94,0 + 25900 L_s + 28990 \frac{L_s}{t_n} + C_1 (2140 L_s + 21,4 \frac{L_s}{t_n})$	$94,0 + 25890 L_s + 20990 \frac{L_s}{t_n}$	$8000 \frac{L_s}{t_n} C_1 (2140 L_s + 21,4 \frac{L_s}{t_n})$	$4,5 + 3,9 L_s + 0,02 \frac{L_s}{t_n}$	
	Главные выработки	$59,3 + (76 + 7 \frac{L_s}{t_n} + 0,18 \sin \beta A_{sym}) L_s + 20 \frac{L_s}{t_n} + 27 \frac{L_s}{t_n t_s}$	$59,8 + (87 + 7 \frac{L_s}{t_n} + 0,18 \sin \beta A_{sym}) L_s + (1C_1) L_s + (39 + 0,001C_1) \frac{L_s}{t_n}$	$+ (1C_1) L_s + (93 + 0,001C_1) \frac{L_s}{t_n}$				
КРУ-350	Главные выработки	$59,3 + (95 + 7 \frac{L_s}{t_n} + 0,18 \sin \beta A_{sym}) L_s + 55 \frac{L_s}{t_n} + 135 \frac{L_s}{t_n} - 41 \frac{1}{t_s}$	$64,8 + (108 + 7 \frac{L_s}{t_n} + 0,18 \sin \beta A_{sym}) L_s + (1C_1) L_s + (33 + 0,001C_1) \frac{L_s}{t_n} - 11060 + 0,45 t_s$	$49500 L_s + 97960 \frac{L_s}{t_n} + C_1 (2140 L_s + 21,4 \frac{L_s}{t_n}) - 11060$	$94,0 + 49500 L_s + 57980 \frac{L_s}{t_n} - 12000$	$40000 \frac{L_s}{t_n} C_1 (2140 L_s + 21,4 \frac{L_s}{t_n})$	$4,5 + 3,9 L_s + 0,02 \frac{L_s}{t_n}$	
	Глубинные выработки	$59,3 + (78 + 7 \frac{L_s}{t_n} + 0,18 \sin \beta A_{sym}) L_s + 32 \frac{L_s}{t_n} + 24 \frac{L_s}{t_n t_s}$	$59,8 + (91 + 7 \frac{L_s}{t_n} + 0,18 \sin \beta A_{sym}) L_s + (1C_1) L_s + (60 + 0,001C_1) \frac{L_s}{t_n} - 373 t_s$	$94,0 + 28200 L_s + 46390 \frac{L_s}{t_n} + C_1 (2140 L_s + 21,4 \frac{L_s}{t_n})$	$94,0 + 28200 L_s + 39790 \frac{L_s}{t_n}$	$7200 \frac{L_s}{t_n} C_1 (2140 L_s + 21,4 \frac{L_s}{t_n})$	$4,5 + 3,9 L_s + 0,02 \frac{L_s}{t_n}$	
1ПБ-100	Глубинные выработки	$59,3 + (78 + 7 \frac{L_s}{t_n} + 0,18 \sin \beta A_{sym}) L_s + 30 \frac{L_s}{t_n} + 32 \frac{L_s}{t_n t_s}$	$59,8 + (87 + 7 \frac{L_s}{t_n} + 0,18 \sin \beta A_{sym}) L_s + (1C_1) L_s + (54 + 0,001C_1) \frac{L_s}{t_n} - 48 t_s$	$94,0 + 25100 L_s + 35280 \frac{L_s}{t_n} + C_1 (2140 L_s + 21,4 \frac{L_s}{t_n})$	$94,0 + 25100 L_s + 25580 \frac{L_s}{t_n}$	$9600 \frac{L_s}{t_n} C_1 (2140 L_s + 21,4 \frac{L_s}{t_n})$	$4,5 + 3,9 L_s + 0,02 \frac{L_s}{t_n}$	
	Главные выработки	$59,3 + (79 + 7 \frac{L_s}{t_n} + 0,18 \sin \beta A_{sym}) L_s + 80 \frac{L_s}{t_n} + 162 \frac{L_s}{t_n t_n} - 14 \frac{1}{t_s}$	$54,8 + (92 + 7 \frac{L_s}{t_n} + 0,18 \sin \beta A_{sym}) L_s + (1C_1) L_s + (73 + 0,001C_1) \frac{L_s}{t_n} - 875 t_s$	$28500 L_s + 118830 \frac{L_s}{t_n} + C_1 (2140 L_s + 21,4 \frac{L_s}{t_n}) - 3060$	$94,0 + 28500 L_s + 70830 \frac{L_s}{t_n} - 6000$	$40000 \frac{L_s}{t_n} C_1 (2140 L_s + 21,4 \frac{L_s}{t_n})$	$4,5 + 3,9 L_s + 0,02 \frac{L_s}{t_n}$	
1ПУ-120	Глубинные выработки	$59,3 + (100 + 7 \frac{L_s}{t_n} + 0,18 \sin \beta A_{sym}) L_s + 91 \frac{L_s}{t_n} + 138 \frac{L_s}{t_n t_n} - 27 \frac{1}{t_s}$	$62,0 + (129 + 7 \frac{L_s}{t_n} + 0,18 \sin \beta A_{sym}) L_s + (1C_1) L_s + (83 + 0,001C_1) \frac{L_s}{t_n} - 875 t_s$	$61100 L_s + 125250 \frac{L_s}{t_n} + C_1 (2140 L_s + 21,4 \frac{L_s}{t_n}) - 7060$	$94,0 + 61100 L_s + 84450 \frac{L_s}{t_n} - 8000$	$40000 \frac{L_s}{t_n} C_1 (2140 L_s + 21,4 \frac{L_s}{t_n})$	$4,5 + 3,9 L_s + 0,02 \frac{L_s}{t_n}$	

Таблица 5.3

Тип тканевой ленты	Ширина ленты, мм	Цена 1 м тканевой ленты при числе прокладок					
		3	4	5	6	7	8
ПВХ-I20	800	-	23,0	27,8	32,5		
	900	-	25,9	31,3	36,6		
	1000	-	28,8	34,8	40,7		
2ШБКНЛ-I00	800	-	20,0	23,3	26,0	28,3	
	900	-	22,5	26,0	29,3	32,8	
	1000	-	25,0	29,0	32,6	36,4	
2ШБКНЛ-I50	800	17,1	21,1	24,8	28,8	32,8	36,8
	900	19,2	23,8	27,8	32,3	36,9	41,4
	1000	21,3	26,4	31,0	36,0	41,0	46,0
2ШГК-200	800	20,3	24,6	29,2	33,6	38,6	
	900	22,8	27,7	32,8	37,8	43,4	
	1000	25,4	30,8	36,5	42,0	48,3	

Таблица 5.4

Тип резинотросовой ленты	Ширина ленты, мм	Оптовая цена, руб/м
2РТЛ0-I500	I000	43,4
	I200	57,4
2ЛТЛ0-2500	I000	57,1
	I200	66,6

Таблица 5.5

Нормированные сроки службы
конвейерных лент

Тип конвейерной ленты	Срок службы ленты, мес.	Документ, нормирующий срок службы конвейерной ленты
Резинотканевые типа 2Ш при транспортировке		ГОСТ 20-76
антрацитов	24	
каменных углей	28	
ПВХ	30	ТУ 38-20593-70
Резинотросовые	60	ТУ 38-105841-75

Таблица 5.6

Локомотивный транспорт

26

Экономические показатели	Формулы для определения экономических показателей при откатке		
	аккумуляторными электровозами типа АМ8, АРП10, АРП14		контактными электровозами ЗАМ-8Д
Суточные эксплуатационные расходы, C_0 , руб.	$N_p (76 - 0,4 t_r + 0,0012 C_1 + 0,0033 C_2 + 0,0013 n_{12} C_3) + L_8 (11,7 + 0,0037 A_{сум} + \frac{66,3}{t_8})$	$N_p (76 - 0,4 t_r + 0,0012 C_1 + 0,007 C_2 + 0,0013 n_{12} C_3) + L_8 (11,7 + 0,0037 A_{сум} + \frac{66,3}{t_8})$	$N_p (49 + 0,011 C_1 + 0,0018 n_e C_3) + L_8 (10,7 + 0,003 A_{сум} + \frac{100}{t_8})$
Суточные приведенные затраты, C_p , руб.	$N_p (97 - 0,4 t_r + 0,0019 C_1 + 0,005 C_2 + 0,002 n_2 C_3) + L_8 (53,8 + 0,0037 A_{сум} + \frac{66,3}{t_8})$	$N_p (97 - 0,4 t_r + 0,0019 C_1 + 0,01 C_2 + 0,002 n_2 C_3) + L_8 (53,8 + 0,0037 A_{сум} + \frac{66,3}{t_8})$	$N_p (50,4 + 0,0019 C_1 + 0,0018 n_e C_3) + L_8 (59,8 + 0,003 A_{сум} + \frac{100}{t_8})$
Капитальные затраты, χ , руб. по оборудованию по горным выработкам	$700 + N_p (6900 + 1,55 C_1 + 3,1 C_2 + 1,35 n_2 C_3)$ $28200 + 35800 N_p - 1700 N_p^2 + 85500 L_8$	$700 + N_p (6900 + 1,55 C_1 + 6,2 C_2 + 1,35 n_2 C_3)$ $28200 + 35800 N_p - 1700 N_p^2 + 85500 L_8$	$4200 L_8 + N_p (1400 + 1,5 C_1 + 1,35 n_e C_3)$ $66700 + 1400 N_p + 95500 L_8$
Личный состав, чел.	$3,5 N_p + 0,0036 n_2 N_p + 1,2 L_8$	$3,5 N_p + 0,0036 n_2 N_p + 1,2 L_8$	$3,3 N_p + 0,006 n_e N_p + 1,5 L_8$

Обозначения, принятые в формулах:

 $A_{сум}$ — суточный грузопоток, т C_2 — оптовая цена аккумуляторной батареи, руб. L_8 — протяженность откатки, км C_3 — оптовая цена вагонетки, руб. N_p — число рабочих локомотивов n_2 — число вагонеток в составе C_1 — оптовая цена локомотива без стоимости батареи, руб. t_r — срок службы гарнажа, лет t_8 — срок службы выработки, лет

Таблица 5.7

Формулы для определения экономических показателей при локомотивном транспорте

Тип локомотива	Нагрузка, т	Тип багажеров	Суточные эксплуатационные расходы, руб.	Суточные пребывающие затраты, руб.	Капитальные затраты, руб.			Явочный состав, чел.	
					Всего	в том числе по			
						оборудованию	горным выработкам		
1	2	3	4	5	6	7	8	9	
ЛМ-8Д	500	95ТЖН-350	$N_p(80+0,0013n_eC_3-0,4t_r) + L_s(12+0,004A_{cym}+\frac{66}{t_s})$	$N_p(117+0,002n_eC_3-0,4t_r) + L_s(54+0,004A_{cym}+\frac{66}{t_s})$	$N_p(58270+1,35n_eC_3) - 1700N_p + 86600L_s + 28900$	$N_p(21470+1,35n_eC_3) + 700$	$28200+35800N_p - 1700N_p + 86600L_s + 40036n_eN_p$	$3,6N_p+1,2L_s+$	
ЛМ-8Д	500	95ТНЖШ-500	$N_p(92+0,0013n_eC_3-0,4t_r) + L_s(12+0,004A_{cym}+\frac{66}{t_s})$	$N_p(122+0,002n_eC_3-0,4t_r) + L_s(56+0,004A_{cym}+\frac{66}{t_s})$	$N_p(61150+1,35n_eC_3-1700N_p) + 86600L_s + 28900$	$N_p(24350+1,35n_eC_3) + 700$	$36800-1700N_p + 86600L_s + 28200$	$3,6+0,0036n_e+$	
ЛМ-8Д	550	112ТЖН-350	$N_p(90+0,0013n_eC_3-0,4t_r) + L_s(12+0,004A_{cym}+\frac{66}{t_s})$	$N_p(118+0,002n_eC_3-0,4t_r) + L_s(54+0,004A_{cym}+\frac{66}{t_s})$	$N_p(59160+1,35n_eC_3-1700N_p) + 86600L_s + 28900$	$N_p(22350+1,35n_eC_3) + 700$	$36800-1700N_p + 86600L_s + 28200$	$3,6+0,0036n_e+$	
ЛМ-8Д	900	112ТНЖШ-500	$N_p(94+0,0013n_eC_3-0,4t_r) + L_s(12+0,004A_{cym}+\frac{66}{t_s})$	$N_p(124+0,002n_eC_3-0,4t_r) + L_s(56+0,004A_{cym}+\frac{66}{t_s})$	$N_p(62640+1,35n_eC_3-1700N_p) + 86600L_s + 28900$	$N_p(25840+1,35n_eC_3) + 700$	$36800-1700N_p + 86600L_s + 28200$	$3,6+0,0036n_e+$	
2AM8II	630	2×95ТЖН-350	$N_p(103+0,0013n_eC_3-0,4t_r) + L_s(12+0,004A_{cym}+\frac{66}{t_s})$	$N_p(137+0,002n_eC_3-0,4t_r) + L_s(54+0,004A_{cym}+\frac{66}{t_s})$	$N_p(72650+1,35n_eC_3-1700N_p) + 86600L_s + 28900$	$N_p(39850+1,35n_eC_3) + 700$	$36800-1700N_p + 86600L_s + 28200$	$3,6+0,0036n_e+$	
2AM8II	600	2×95ТНЖШ-500	$N_p(109+0,0013n_eC_3-0,4t_r) + L_s(12+0,004A_{cym}+\frac{66}{t_s})$	$N_p(147+0,002n_eC_3-0,4t_r) + L_s(56+0,004A_{cym}+\frac{66}{t_s})$	$N_p(78600+1,35n_eC_3-1700N_p) + 86600L_s + 28900$	$N_p(41800+1,35n_eC_3) + 700$	$36800-1700N_p + 86600L_s + 28200$	$3,6+0,0036n_e+$	
2AM8II	900	2×112ТЖН-350	$N_p(105+0,0013n_eC_3-0,4t_r) + L_s(12+0,004A_{cym}+\frac{66}{t_s})$	$N_p(140+0,002n_eC_3-0,4t_r) + L_s(54+0,004A_{cym}+\frac{66}{t_s})$	$N_p(74640+1,35n_eC_3-1700N_p) + 86600L_s + 28900$	$N_p(37840+1,35n_eC_3) + 700$	$36800-1700N_p + 86600L_s + 28200$	$3,6+0,0036n_e+$	
2AM8II	900	2×112ТНЖШ-500	$N_p(113+0,0013n_eC_3-0,4t_r) + L_s(12+0,004A_{cym}+\frac{66}{t_s})$	$N_p(152+0,002n_eC_3-0,4t_r) + L_s(54+0,004A_{cym}+\frac{66}{t_s})$	$N_p(81580+1,35n_eC_3-1700N_p) + 86600L_s + 28900$	$N_p(44780+1,35n_eC_3) + 700$	$36800-1700N_p + 86600L_s + 28200$	$3,6+0,0036n_e+$	

Продолжение табл. 5.7.

1	2	3	4	5	6	7	8	9
АРП10	600	112ТНКШ-500	$N_p(98+0,0013n_2C_3-0,4t_r) + L_\delta(12+0,004A_{sym}+\frac{66}{t_\delta})$	$N_p(130+0,002n_2C_3-0,4t_r) + L_\delta(54+0,004A_{sym}+\frac{66}{t_\delta})$	$N_p(67510+1,35n_2C_3-1700N_p) + 86600L_\delta + 28900$	$N_p(30710+1,35n_2C_3) + 700$	$N_p(36800-1700N_p) + 86600L_\delta + 28200$	$N_p(3,6+0,0036n_2)$
АРП14	900	161ТНКШ-650	$N_p(112+0,0013n_2C_3-0,4t_r) + L_\delta(12+0,004A_{sym}+\frac{66}{t_\delta})$	$N_p(153+0,002n_2C_3-0,4t_r) + L_\delta(54+0,004A_{sym}+\frac{66}{t_\delta})$	$N_p(83440+1,35n_2C_3-1700N_p) + 86600L_\delta + 28900$	$N_p(46640+1,35n_2C_3) + 700$	$N_p(36800-1700N_p) + 86600L_\delta + 28200$	$N_p(3,6+0,0036n_2)$
АРП14	900	161ТНКШ-650	$N_p(133+0,0013n_2C_3-0,4t_r) + L_\delta(12+0,004A_{sym}+\frac{66}{t_\delta})$	$N_p(181+0,002n_2C_3-0,4t_r) + L_\delta(54+0,004A_{sym}+\frac{66}{t_\delta})$	$N_p(100930+1,35n_2C_3-1700N_p) + 86600L_\delta + 28900$	$N_p(64130+1,35n_2C_3) + 700$	$N_p(36800-1700N_p) + 86600L_\delta + 28200$	$N_p(3,6+0,0036n_2)$
X10	600	—	$N_p(55+0,0011n_2C_3) + L_\delta(20+0,003A_{sym}+\frac{100}{t_\delta})$	$N_p(60+0,0018n_2C_3) + L_\delta(70+0,003A_{sym}+\frac{100}{t_\delta})$	$N_p(10450+1,35n_2C_3) + 99800L_\delta + 66700$	$N_p(9050+1,35n_2C_3) + 4200L_\delta$	$1400N_p + 95600L_\delta + 66700$	$N_p(3,3+0,005n_2)$
X14	900	—	$N_p(58+0,0011n_2C_3) + L_\delta(20+0,003A_{sym}+\frac{100}{t_\delta})$	$N_p(66+0,0018n_2C_3) + L_\delta(70+0,003A_{sym}+\frac{100}{t_\delta})$	$N_p(14950+1,35n_2C_3) + 99800L_\delta + 66700$	$N_p(13550+1,35n_2C_3) + 4200L_\delta$	$1400N_p + 95600L_\delta + 66700$	$N_p(3,3+0,005n_2)$

Обозначения, принятые в формулах:

- A_{sym} — суточный грузопоток, т
- t_δ — протяженность откатки, км
- N_p — число рабочих локомотивов
- C_3 — оптовая цена вагонетки, руб.
- n_2 — число вагонеток в составе
- t_r — срок службы гарнажа, лет
- t_δ — срок службы бирюбочки, лет

Таблица 5.8

Оптовые цены средств рельсового транспорта

Л о к о м о т и в ы					В а г о н е т к и		
Типоразмер	Сцепной вес, кН	Тип батареи	Оптовая цена локомотива без стоимости батареи C_1 , руб.	Оптовая цена аккумуляторной батареи C_2 , руб.	Тип	Вместимость кузова, м ³	Оптовая цена C_3 , руб.
4,5 АРП2М-600	50	66ТЖН-300	5504	1348	ВГ-08	0,8	151
4,5 АРП2М-900	50	66ТЖН-300	5704	1348	ВГ-1,3	1,3	180
5АРВ2-600	500	66ТЖНУ-250II	6500	3500	ВГ-1,4	1,4	186
5АРВ2-900	50	66ТЖНУ-250II	6600	3500	ВГ-1,6	1,6	192
AM8-I	80	96ТЖН-350	4800				
AM8-2	80	96ТЖН-350	5500	1900	ВГ-2,5	2,5	323
IЗАРП-I	130	I26ТЖН-550	7930	3584	ВГ-3,3	3,3	346
					ВД-3,3М	3,3	690
ЭКР-60	30	-	2190	-	ВД-4М	4,0	720
IOKP2	100	-	5100	-	ВД-5,6М	5,6	970
I4KP2A	140	-	8100	-			

Таблица 5.9.

Канатный транспорт по наклонным выработкам

Экономические показатели	Вид откатки			
	однокачеческим канатом в вагонетках	механизированная доставка людей однокачеческим канатом	механизированная доставка людей моноканатной дорогой	доставка беспомощательных ма- териалов монорельсовой дорогой
Суточные эксплуатационные расходы, C_e , руб.	$18,0 + 11,4 n_t + 0,0015 C_s + 0,0017 n_s C_t + (10 + \frac{88}{t_8}) L_8 + (0,0055 + \frac{0,26}{t_8}) V + (0,043 + 0,0002 A_{cym} L_8) N_t / 6 n_t$	$89,0 + 0,00064 C_s + 0,0008 n_s C_t + (8,3 + \frac{88}{t_8}) L_8 + (0,0055 + \frac{0,26}{t_8}) V + (0,043 + 0,0002 A_{cym} L_8) N_t / 6 n_t$	$12,6 n_t + 0,0018 (C_s + C_3 L_8) + (0,0055 + \frac{0,26}{t_8}) V + (0,043 + 0,0002 A_{cym} L_8) N_t / 6 n_t$	$23,4 n_t + 6,5 n_g + 0,002 (C_s + C_3 L_8) + 0,0006 C_6 L_8 + (0,043 + 0,03 n_t) N_2$
Суточные приведенные затраты, Z_n , руб.	$18,0 + 11,4 n_t + 0,0015 C_s + 0,0017 n_s C_t + (37 + \frac{88}{t_8}) L_8 + (0,044 + \frac{0,26}{t_8}) V + (0,043 + 0,0002 A_{cym} L_8) N_t / 6 n_t$	$89,0 + 0,0015 C_s + 0,0014 n_s C_t + (35,3 + \frac{88}{t_8}) L_8 + (0,044 + \frac{0,26}{t_8}) V + (0,043 + 0,0002 A_{cym} L_8) N_t / 6 n_t$	$12,6 n_t + 0,0027 (C_s + C_3 L_8) + (0,044 + \frac{0,26}{t_8}) V + (0,043 + 0,0002 A_{cym} L_8) N_t / 6 n_t$	$23,4 n_t + 6,5 n_g + 0,003 (C_s + C_3 L_8) + 0,0015 C_6 L_8 + (0,043 + 0,03 n_t) N_2$
Капитальные затраты, K , руб. по оборудованию по горным работам	$1,75 C_s + 1,4 n_t C_t + 1070 C_6 L_8 + 53,3 C_6$	$1,75 C_s + 1,26 n_t C_t + 1070 C_6 L_8 + 53,5 C_6$	$1,75 (C_s + C_3 L_8)$	$1,75 (C_s + C_3 L_8 + C_6 L_8)$
Штат на работе, чел.	$1,46 + 0,8 L_8 + n_t$	$2 n_t + 0,53 L_8$	4	$2 n_t + 0,5 n_g$

Обозначения, принятые в формулах:

 n_t - число рабочих смен n_s - число вагонеток в составе n_g - число людских вагонеток в составе n_t - число рабочих смен по механизированной доставке людей n_g - число монорельсовых дорог, установленных в данной выработке t_8 - срок службы выработки, лет t_g - число часов работы в сутки по механизированной доставке людей, ч A_{cym} - суточный грузопоток, т L_8 - протяженность откатки, доставки, км C_s - оптовая цена вагонетки, руб. C_e - оптовая цена привода и натяжного устройства моноканатной дороги, (монорельсовой дороги), руб. C_3 - оптовая цена 1м сварочных единиц моноканатной дороги (монорельсовой дороги), зависящая от длины доставки, руб. C_6 - стоимость монорельсового пути и каната на 1км длины дороги, руб. C_8 - оптовая цена лебедки, руб. C_g - стоимость 1м каната, руб. C_t - оптовая цена людской вагонетки, руб. V - объем камеры лебедки, м³ v - скорость движения каната, м/с G - грузоподъемность вагонетки, т N_t - установленная мощность двигателя, кВт N_g - мощность электродвигателя монорельсовой дороги, кВт

Таблица 5.10.

Погрузочный пункт

Тип погрузочного пункта	Формулы для определения экономических показателей			
	Суточные эксплуатационные расходы C_0 , руб.	Суточные приведенные затраты Z_p , руб.	Капитальные затраты K , руб.	Часовой состав, час.
Стационарный и полустационарный Погрузка угля в вагонетки	$13\delta_1 n_1 + 0,0015(C_1 + n_2 C_2 + n'_2 C_2) + 1,6 \frac{\ell_1 + \ell'_1}{t_n}$	$13\delta_1 n_1 + 0,0022(C_1 + n_2 C_2 + n'_2 C_2) + 1,6 \frac{\ell_1 + \ell'_1}{t_n}$	$1,3C_1 + 1,53(n_2 C_2 + n'_2 C_2)$	$\delta_1 n_1$

Обозначения, принятые в формулах:

δ_1 – норматив численности в смену машинистов подземных установок при сменной нагрузке до 450т $\delta_1=1$; при сменной нагрузке свыше 450т $\delta_1=2$
 n_1 – число рабочих смен

C_1 – оптовая цена погрузочного пункта, руб.

C_2 – оптовая цена вагонетки, руб.

n_2 – число вагонеток технологической емкости

n'_2 – число вагонеток аккумулирующей емкости

ℓ_1 – длина разминовки технологической емкости, м

ℓ'_1 – длина разминовки аккумулирующей емкости, м

t_n – срок службы погрузочного пункта, лет.

Таблица 5.11

Приемно-отправительные станции главных наклонных выработок

НН	Тип приемно-отправительной станции	Формулы для определения экономических показателей			Явочный состав, чел.
		Суточные эксплуатационные расходы ϵ , руб	Суточные прибывающие затраты Зп, руб	Капитальные затраты K , руб	
1.	Верхняя без бункера	$10,8n_i + 0,0013C_s + C_e (0,0018n_s + 0,0014n'_s) * 450(\epsilon_i + \epsilon'_i)(0,0007 - 0,00002t_{nac})$	$10,8n_i + 0,0019C_s + C_e (0,0025n_s + 0,0021n'_s) * 900(\epsilon_i + \epsilon'_i)(0,0007 - 0,00002t_{nac})$	$1,22C_t + 1,4C_a(n_s + n'_s) + 51(n_s + n'_s) + (40S_k + 22S_t + 79)(\epsilon_i + \epsilon'_i)$	3
2.	Верхняя с бункером	$10,8n_i + 0,0013C_s + 0,04V_b + C_e (0,0018n_s + 0,0014n'_s) * 450(\epsilon_i + \epsilon'_i)(0,0007 - 0,00002t_{nac})$	$10,8n_i + 0,0019C_s + 0,08V_b + C_e (0,0025n_s + 0,0021n'_s) * 900(\epsilon_i + \epsilon'_i)(0,0007 - 0,00002t_{nac})$	$1,22C_t + 1,4C_a(n_s + n'_s) + 51(n_s + n'_s) + 80V_b + (40S_k - 22S_t + 79)(\epsilon_i + \epsilon'_i)$	3
3.	Промежуточная на обходной выработке	$10,8n_i + 0,04V_b + 0,0013(C_s + C_a + C_e) + 0,0014(n_s + n'_s) + [1530(90 + \frac{H}{t_{qB}}) + 650\epsilon_i] \cdot (0,0007 - 0,00002t_{nac}) \cdot (N_s + N'_s + N_b)(0,043 + 0,0041t, n_i)$	$10,8n_i + 0,08V_b + 0,0019(C_s + C_a + C_e) + 0,0021C_a(n_s + n'_s) + [3000(90 + \frac{H}{t_{qB}}) + 900\epsilon_i] \cdot (0,0007 - 0,00002t_{nac}) \cdot (N_s + N'_s + N_b)(0,043 + 0,0041t, n_i)$	$1,22(C_a + C_a + C_s) + \{4C_a(n_s + n'_s) + 51n_s + 80V_b + 1530(90 + \frac{H}{t_{qB}}) + (40S_k - 22S_t + 19)\epsilon'_i\}$	3
4.	Промежуточная без обходной выработки	$10,8n_i + 0,04V_b + 0,0013(C_s + C_a + C_e) + 0,0044C_a + 0,0014(n_s + n'_s) + [450(\epsilon_i + \epsilon'_i) + 30000](0,0007 - 0,00002t_{nac}) \cdot (N_s + N'_s + N_b)(0,043 + 0,0041t, n_i)$	$10,8n_i - 0,08V_b + 0,0019(C_s + C_a + C_e) + 0,0021C_a(n_s + n'_s) + [900(\epsilon_i + \epsilon'_i) + 60000] \cdot (0,0007 - 0,00002t_{nac}) \cdot (N_s + N'_s + N_b)(0,043 + 0,0041t, n_i)$	$1,2(C_a + C_a + C_s) + 1,4C_a(n_s + n'_s) + 51n_s + 80V_b + (40S_k - 22S_t + 79)(\epsilon_i + \epsilon'_i) + 30000$	3
5.	Промежуточная без обходной выработки для вагонеток грузо-згрузкой через дно	$10,8n_i + 0,04V_b + 0,0013C_s + N_b (0,043 + 0,0041t, n_i) + [450(\epsilon_i + \epsilon'_i) + 8000](0,0007 - 0,00002t_{nac})$	$10,8n_i + 0,08V_b + 0,0019C_s + [900(\epsilon_i + \epsilon'_i) + 16000](0,0007 - 0,00002t_{nac})$	$1,22C_s + 51n_s + 80V_b + (40S_k - 22S_t + 79)(\epsilon_i + \epsilon'_i) + 8000$	3

Обозначения, принятые в формулах:

 t – продолжительность смены, ч n – число рабочих смен n_s – число вагонеток технологоической емкости n'_s – число вагонеток аккумулирующей емкости n_a – число стрелочных перегородок технологоической емкости n'_a – число стрелочных перегородок аккумулирующей емкости C_s – оттоварная цена погрузочно-разгрузочного пункта, руб C_a – оттоварная цена вагонетки, руб C_e – оттоварная цена толкателя, руб V_b – оттоварная цена отрокидывателя, руб C_p – оттоварная цена питателя, руб N_b – установленная мощность движителя толкателя, кВт N_s – установленная мощность движителя отрокидывателя, кВт ϵ_i – длина разминовки технологоической емкости, м ϵ'_i – длина разминовки аккумулирующей емкости, м t_{nac} – срок службы приемно-отправительной станции, лет H – объем камеры бункера, м³ H – расстояние по вертикали, необходимое для размещения бункера и загрузочного устройства, м β – угол наклона выработки

Таблица 5.12.

*Приемно-отправительные станции беспомеховых выработок
(откатка одноконцевым канатом)*

<i>Формулы для определения экономических показателей</i>			
<i>Суточные эксплуатационные расходы Сэ, руб.</i>	<i>Суточные приведенные затраты Зп, руб.</i>	<i>Капитальные затраты К, руб.</i>	<i>Численный состав, чел.</i>
$9,7 n_1 b_1 + 0,0013 n_3 C_3 + 0,0014 n_2 C_2 +$ $+ \epsilon_1 (0,35 - 0,01 t_{\text{пас}}) + n_3 N (0,043 + 0,00003 A_{\text{супт}})$	$9,7 n_1 b_1 + 0,0019 n_3 C_3 + 0,0028 n_2 C_2 +$ $+ \epsilon_1 (0,6 - 0,01 t_{\text{пас}}) + n_3 N (0,043 + 0,00003 A_{\text{супт}})$	$1,22 n_3 C_3 + 2,8 n_2 C_2 + 500 \ell_1$	$n_1 b_1$

Обозначения, принятые в формулах:

Аспт—суточный грузопоток, т

n₁ — число рабочих смен

b₁ — норматив численности рабочих на единицу площадку в смене. При сменной нагрузке до 100т *b₁*=1, при сменной нагрузке выше 100т *b₁*=2

n₂ — число вагонеток на приемно-отправительной станции

n₃ — число толкателей

C₂ — оптовая цена вагонетки, руб.

C₃ — оптовая цена толкателя, руб.

l₁ — длина разминовки, м

t_{пас}— срок службы, лет

N — установленная мощность двигателя толкателя, кВт

расходы, связанные с заменой оборудования в условиях действующих шахт.

5.1.1. Капитальные затраты на проведение I м выработки для Донецкого бассейна определяются по формуле

$$C_{np} = \mu P (K'_1 S_g + K'_2) \prod_{n,i}^2 K_{ni}, \text{ руб.},$$

где μ – областной коэффициент, учитывающий уровень зарплаты и цен на материалы в различных районах (для выработок, закрепленных металлом, по Донецкому бассейну $\mu = 1$); P – коэффициент, учитывающий общешахтные расходы и плановые накопления (для нового строительства $P = 2,5$, для реконструкции шахт $P = 2,15$, для действующих шахт $P = 1,6$); S_g – сечение выработки в свету, m^2 ; $\prod_{n,i}^2 K_{ni}$ – произведение поправочных коэффициентов для i -х условий ведения горных работ, неучтенных каталогом единичных расценок на горнопроходческие работы по Донецкому бассейну в условиях шахт, опасных по газу $K_{nr} = 1,0$, негазовых – $K_{n,r} = 0,9$; при наличии капока непрерывными струями в забое подготовительной выработки $K_{nr} = 1,1$; K'_1 , K'_2 – стоимостные коэффициенты, значения которых для выработок, закрепленных стальной арочной крепью, приведены в табл. 5.13.

Таблица 5.13

Сечение выработки в свету, m^2	В том числе по породе, %	Коэффициент крепости пород					
		$f = 2 + 3$		$f = 4 + 6$		K'_1	K'_2
		K'_1	K'_2	K'_1	K'_2		
5,9 – 6,7	100	23,9	10	23	II		
7,9 – 12,5	100	15,4	46	14,1	49		
13,7 – 16,4	100	11,3	150	25,9	102		
7,9 – 12,5	60–41	15,8	36	14,2	34		
13,7 – 14,1	60–41	21,1	10	16,7	II		
16,4	65–51	20	10	18,8	II		

5.1.2. Затраты на расширение I м выработки определяются из выражения

$$\Delta C_{pac} = \rho_s S_h - \rho_a S_c + \rho_3, \text{ руб.},$$

где S_c , S_n – соответственно старое и новое сечение выработки в свету, м^2 ; ρ_1 , ρ_2 , ρ_3 – коэффициенты, значения которых в зависимости от вида крепи выработки приведены в табл. 5.14.

Таблица 5.14

Вид крепи выработки	Значения коэффициентов		
	β_1	β_2	β_3
Арочная металлическая	24,95	13,75	16,85
Железобетонная	21,38	12,82	31,70

5.1.3. Затраты на поддержание горных выработок, проводимых в массиве угля или пород, определяются по формуле

$$C_{\text{под}} = \gamma S K_n K'_n K_y \text{ руб.},$$

где γ – стоимость поддержания 1 м^3 горных выработок в свету при средних горно-геологических условиях. Значения γ приведены в табл. 5.15; S – площадь поперечного сечения выработки в свету, м^2 ; K_n – коэффициент, учитывающий влияние глубины разработки.

Таблица 5.15

Стоимость поддержания 1 м^3 горных выработок
в свету при средних горно-геологических условиях (γ)

Пологие и наклонные пласти		
Деревянная крепь	Металлическая крепь	Крепи из железобетонных стоек
3,0	1,1	0,84

Для подготовительных выработок, закрепленных металлическими арками,

$$K_n = 0,0035 (H - II4),$$

где H – глубина разработки, м; K'_n – коэффициент, учитывающий способ проведения и охраны выработки ($K'_n = 0,3 - 0,5$); K_y – коэффициент, учитывающий влияние устойчивости боковых пород. Значения коэффициента по данным Донуги приведены в табл. 5.16.

Таблица 5.16

Значения коэффициента, учитывающего влияние
устойчивости боковых пород (k_y)

Класс пород	Значения коэффициента k_y	
	при деревянной крепи	при металлической крепи и из железобетонных стоек
Устойчивые	0,5	0,4
Средней устойчи- вости	1,0	1,0
Неустойчивые	1,75	2,2

5.1.4. Определение затрат, связанных с заменой транспортного оборудования

Определение затрат, связанных с заменой транспортного оборудования в условиях действующих и реконструируемых шахт, производится в следующей последовательности.

Определяется остаточная стоимость Φ_o заменяемого (ликвидируемого) оборудования, которое не может быть передано на другие участки или шахты для дальнейшей эксплуатации.

Как правило, эта стоимость определяется по данным бухгалтерского учета. При отсутствии таких данных она устанавливается путем сравнения фактических и нормативных сроков службы оборудования по формуле

$$\Phi_o = \Phi_n \frac{T_n - T_\phi}{T_n}, \text{ руб.},$$

где Φ_n – первоначальная стоимость оборудования, руб.; T_n – нормативный (средний) срок службы оборудования, лет; T_ϕ – актический срок службы заменяемого (ликвидируемого) оборудования, лет.

Определяется стоимость демонтажа C_g заменяемого оборудования по формуле

$$C_g = G \mathcal{U}, \text{ руб.},$$

где G – вес демонтируемого оборудования, т; \mathcal{U} – удельная стоимость монтажно-демонтажных работ. Принимается по методике [2] или определяется в размере 8% от стоимости оборудования, т.е.

$$C_g = 0,08 \Phi_n, \text{ руб.}$$

5.2. Суммарные значения каждого показателя по всем звеньям транспорта, входящим в рассматриваемую технологическую схему (базовую и по каждому варианту), заносятся в сводную таблицу 5.17.

5.3. Из сравниваемых вариантов сокращения многозвездности транспорта для реализации принимается вариант технологической схемы транспорта, характеризующийся наименьшими приведенными затратами, отнесенными к одной тонне добываемого угля (удельные приведенные затраты).

Удельные приведенные затраты определяются

$$\beta_n' = \frac{\beta_n}{A_{cym}}, \text{ руб/т},$$

где β_n – суточные приведенные затраты, руб.; A_{cym} – суточная добыча шахты, т.

5.4. Экономическая эффективность принятого к реализации варианта сокращения многозвездности транспорта определяется по формуле

$$\vartheta = [(C_1 - C_2) - E_n (K'_1 - K'_2)] A_r + \beta_{kos}, \text{ руб.},$$

где C_1 – себестоимость транспортирования при базовом варианте, руб/т; C_2 – себестоимость транспортирования при принятом варианте технологической схемы транспорта, руб/т; K'_1 и K'_2 – удельные капитальные вложения на транспорт при базовом и принятом вариантах технологических схем транспорта, руб/т; E_n – нормативный коэффициент эффективности капитальных вложений, $E_n = 0,15$; A_r – годовой объем транспортирования угля при принятом варианте технологической схемы транспорта, т; β_{kos} – дополнительный годовой экономический эффект (+) или ущерб (-), получаемый в смежных технологических звеньях в результате учета косвенных последствий ввода в эксплуатацию новой технологической системы транспорта, руб.

Себестоимость транспортирования определяется при базовом варианте

$$C_1 = \frac{\beta_3}{A_{cym}}, \text{ руб/т},$$

где β_3 – суточные эксплуатационные расходы при базовом варианте, руб.; A_{cym} – объем транспортирования угля при базовом варианте, т/сут;

при принятом варианте технологической схемы транспорта

$$C_2 = \frac{\beta_{3,2}}{A_{cym_2}}, \text{ руб/т},$$

6
Таблица 5.17

Результаты расчетов технико-экономических показателей сравниваемых вариантов сокращения многозвездности подземного транспорта

Варианты техноло- гических схем транспорта	Суточные эксплуатацион- ные расходы, руб.	Суточные приведенные затраты, руб.	Капитальные затраты, руб.	Величина шта- та обслужива- ющего персо- нала, чел.	Удельные при- веденные зат- раты, руб/т
--	--	--	------------------------------	--	---

Базовый вариант

Вариант I

Вариант 2

Вариант 3

и т.д.

где $\mathcal{Z}_{\mathfrak{z}_2}$ – суточные эксплуатационные расходы при принятом варианте технологической схемы транспорта, т/сут; A_{cym_2} – объем транспортирования угля при принятом варианте технологической схемы транспорта, т/сут.

Удельные капитальные вложения рассчитываются при базовом варианте

$$K'_1 = \frac{K_1}{A_r}, \text{ руб/т,}$$

где K_1 – капитальные вложения при базовом варианте, руб.;

A_r – годовой объем транспортирования угля при базовом варианте, т.

При принятом варианте технологической схемы транспорта

$$K'_2 = -\frac{K_2}{A_{r_2}}, \text{ руб/т,}$$

где K_2 – капитальные вложения при принятом варианте схемы транспорта, руб.; A_{r_2} – годовой объем транспортирования угля при принятом варианте схемы транспорта, т.

Косвенный эффект в результате ввода новой технологической схемы транспорта учитывается по формуле.

$$\mathcal{Z}_{\text{кос}} = \mathcal{Z}_1 + \mathcal{Z}_4 + \mathcal{Z}_5,$$

где \mathcal{Z}_1 – годовой экономический эффект или ущерб от сортности угля, руб.; \mathcal{Z}_4 – годовой экономический эффект от повышения нагрузки на транспортное звено, руб.; \mathcal{Z}_5 – годовой экономический эффект от повышения нагрузки на шахту, руб.

5.4.1. Экономический эффект или ущерб от изменения качества угля по выходу отдельных классов в результате изменения переизмельчения при транспортировании по каждому варианту определяется в следующей последовательности:

прирост выхода антрацита класса 0–6 мм в процентах к общему количеству транспортируемого угля по формуле

$$U_m = K_f K_2 \sum_{i=1}^4 U_i,$$

где U_m – дополнительный выход штаба на транспортном маршруте, %; K_f – коэффициент, учитывающий крепость угля f по шкале М.М.Протодьяконова,

$$K_f = 1,55 - 0,26f;$$

K_2 – коэффициент, учитывающий влияние гранулометрического состава угля

$$K_2 = \frac{18,4}{U_o} + 0,08;$$

U_o – содержание штаба в угле, поступающем на транспортную установку в начале маршрута, %; U_t – измельчение угля по

каждой транспортной операции, %.

Измельчение угля на каждой транспортной операции определяется по следующим формулам:

транспортирование скребковыми конвейерами

$$\mathcal{U}_c = 1,7 \cdot 10^{-2}, \%$$

транспортирование ленточными конвейерами

$$\mathcal{U}_n = 4,5 \cdot 10^{-4}, \%$$

транспортирование в вагонетках, скипах

$$\mathcal{U}_g = 3 \cdot 10^{-4}, \%$$

транспортирование по скатам

$$\mathcal{U}_{ex} = 3,5 \cdot 10^{-2}, \%$$

перегрузка на скребковый конвейер

$$\mathcal{U}_{nc} = 0,5, \%$$

перегрузка на ленточный конвейер

$$\mathcal{U}_{nl} = 0,26, \%$$

погрузка в вагонетку, в бункер

$$\mathcal{U}_{nb} = 0,45, \%$$

где L - длина транспортирования, м; n - высота падения угля при перегрузке или погрузке, м,

Производится пересчет выхода сортов антрацита в результате увеличения выхода штыба.

Определяется средневзвешенная отпускная цена I т угля при сравниваемых вариантах транспортирования (\mathcal{U}_1 , \mathcal{U}_2).

Определяется экономический эффект от изменения сортности антрацита по формуле

$$\mathcal{Z}_A = A_{cym} (\mathcal{U}_1 - \mathcal{U}_2), \text{ руб/сут.}$$

Если данные по выходу отдельных сортов антрацита, а следовательно, средневзвешенной отпускной цены I т угля отсутствуют, то расчет \mathcal{Z}_A производят укрупненно по формуле

$$\mathcal{Z}_A = \frac{A_{cym} \mathcal{U}_w}{100} (\mathcal{U}_w - \mathcal{U}_{k.o}), \text{ руб/сут.}$$

где \mathcal{U}_w - суммарный прирост выхода штыба при одном варианте по сравнению с другим, %; \mathcal{U}_w - оптовая цена за тонну угля марки

Alл, руб/т; C_{α_0} – оптовая цена за тонну угля марки АКО класса 25–100 > 25, руб/т.

5.4.2. При увеличении нагрузки на отдельное транспортное звено и постоянной добыче угля по шахте в целом, если известна величина условно постоянных расходов для данного звена до и после повышения нагрузки, годовой экономический эффект \mathcal{E}_4 определяется по формуле

$$\mathcal{E}_4 \approx (C_1'' \alpha_n - C_2''), \text{ руб.},$$

где C_1'' и C_2'' – годовые условно постоянные расходы по обслуживанию данного технологического звена до и после повышения нагрузки на него, руб.; α_n – коэффициент роста нагрузки на транспортное звено.

Если же конкретная величина условно постоянных расходов для данного транспортного звена неизвестна, то при $\alpha_n \leq 1,1$ значение \mathcal{E}_4 находится из выражения

$$\mathcal{E}_4 = \frac{\gamma_{ab} C_w \mathcal{D}_{1c} n_{gh}}{100} (\alpha_n - 1), \text{ руб.};$$

при $\alpha_n > 1,1$, \mathcal{E}_4 определяется по формуле

$$\mathcal{E}_4 = \frac{\gamma_{ab} C_w \mathcal{D}_{1c} n_{gh}}{100} [0,1(\alpha_n - 1,1) \cdot 0,8], \text{ руб.},$$

где γ_{ab} – удельный вес условно постоянных расходов по звеньям, непосредственно обслуживающим один очистной забой, в общешахтной себестоимости I т угля, %; C_w – производственная себестоимость I т угля в целом по шахте до ввода новой техники (технологии), руб.; \mathcal{D}_{1c} – суточная нагрузка на шахту в период, предшествовавший внедрению на ней новой техники; n_{gh} – число дней работы шахты в году.

Для лав, оборудованных механизированными крепями, множитель 0,8 необходимо заменить множителем 0,7.

5.4.3. При вводе на общешахтных процессах новой техники (технологии), повышающей нагрузку на предприятие в целом, годовая экономия рассчитывается с учетом коэффициента роста нагрузки на шахту в результате данного мероприятия.

При $\alpha_w \leq 1,1$ по формуле

$$\mathcal{E}_5 = \frac{\gamma_w C_w \mathcal{D}_{1c} n_{gh}}{100} (\alpha_w - 1), \text{ руб.},$$

при $\alpha_w > 1,1$ \mathcal{E}_5 рассчитывается по формуле

$$\mathcal{E}_5 = \frac{\gamma_w C_w \mathcal{D}_{1c} n_{gh}}{100} [0,1 + (\alpha_w - 1,1) \cdot 0,7], \text{ руб.},$$

где γ_m – удельный вес условно постоянных расходов на обслуживание общешахтных звеньев в производственной себестоимости I т угля по шахте, %.

Рекомендуемые средние значения показателей γ_{σ} и γ_m для условий шахт Донбасса приведены в приложении 3 к "Методике определения экономической эффективности использования в угольной промышленности новой техники, изобретений и рационализаторских предложений".

6. Порядок оформления, рассмотрения и утверждения рекомендаций по сокращению многозвездности транспорта

6.1. Рекомендации по сокращению многозвездности транспорта разрабатываются шахтой и оформляются в виде:

пояснительной записки, содержащей материалы анализа существующего состояния транспорта, данные выбора и расчета транспортного оборудования, описания сравниваемых вариантов технологических схем транспорта, предложения по реализации предлагаемых технических решений по сокращению многозвездности основного и вспомогательного транспорта, результаты расчетов экономической эффективности сравниваемых вариантов;

графического материала, отображающего технологическую схему существующего транспорта шахты и предлагаемую технологическую схему транспорта, обеспечивающую сокращение его многозвездности.

Графический материал оформляется в соответствии с требованиями "Основных положений по проектированию подземного транспорта новых и действующих угольных шахт" (М., 1977).

6.2. Рекомендации по сокращению многозвездности транспорта представляются производственному объединению для утверждения и принятия решения по их реализации.

Список литературы

1. Нормативы путевого развития, организации маневровых работ и механизации погрузочных пунктов. Донецк, МУП УССР. 1969.
2. Приложение 3 к "Методике определения экономической эффективности использования в угольной промышленности новой техники, изобретений и рационализаторских предложений". М., ЦНИЭИуголь, 1979.

Приложение I

**Техническая характеристика
средств основного и вспомогательного транспорта**

Таблица I

Техническая характеристика подземных ленточных конвейеров унифицированного ряда

Тип конвейера	Принемая способность, м ³ /мин		Ширина ленты, мм	Ско-ростъ ленты, м/с	Суммарная мощность привода, кВт	Длина установки, м	Отпускная цена, руб.		Пределы радиального ис-пользования по производительности, т/ч	Основное назначение	Стадия освоения	Завод-изготови-тель	
	стацио-нарная уста-новка	подуста-ционер-ная уста-новка					установ-ки	сто мет-ров средней части	min	max			
ИЛ80	7,2 9,3	6,5 8,4	800	1,6 2,0	40	600	15350	II50	100 150	330 420	Для участковых выработок с углами наклона от -3 до +6°	Серийный	Александропольский машзавод
ИЛТ80	-	6,5 8,4	800	1,6 2,0	40	500	38000	II50	100 150	330 420	Для выработок с углами наклона от -3 до +6°, непосредственно примыкающих к лавам	Серийный	-"-
2Л80	7,2 9,3	6,5 8,4	800	1,6 2,0	до IIIC	1000	39000	II50	100 150	330 420	Для участковых выработок с углами наклона от -3 до +6°	Серийный	-"-
ИЛ100	II,2	-	1000	1,6	200	1000	70000	2200	150	530	Для выработок с углами наклона от -3 до +6°	Серийный	Краснолучский машзавод
ИЛ100К	II,2	IO,I	1000	1,6	100	500	25000	I930	150	550	Для участковых выработок с углами наклона от -3 до +6°	Серийный	-"-
ИЛТ100	-	IO,I 15,7	1000	1,6 2,5	200		81308		150 500	530 840	Для выработок с углами наклона от -10 до +10°, непосредственно примыкающих к лавам	1978	-"-
ЛЛУ100	II,2	-	1000	1,6	200	700	32000	I930	200	530	Для уклонов с углами наклона от 6 до 18°	Серийный	-"-
2ЛЛУ100	13,3	-	1000	2,0	500	1000	75000	2200	250	688	Для капитальных уклонов с углами наклона от 6 до 18°	Серийный	-"-
ИЛБ100	II,2	IO,I	1000	1,6	100	1000	52200	2170	150	530	Для бремсбергов с углами наклона от -3 до -16°	Серийный	-"-
ЛЛУ120	25	-	1200	2,5	500	1000	II3500	4700	450	1200	Для капитальных выработок с углами наклона от 0 до +18°	Серийный	Александровский машзавод
2ЛЛУ120	3I,6	-	1200	3,15	500		203645		300	I400	Для капитальных бремсбергов с углами наклона от -3 до -16°	Серийный	-"-
2ЛЛУ120 А Б В	3I,6 3I,6 3I,6	-	1200	3,15 3,15 3,15	1000 1500 1000		I94600	5600	700 700 700	I400 I400 I400	Для капитальных выработок с углами наклона от 0 до 18° и наклонных стволов с углами наклона до 18°	Серийный	-"-

Таблица 2

Техническая характеристика рудничных электровозов

Модель электровоза	Сцеп-ная масса, т	Ширина колеи, мм	Тяговое усилие часового режима, т	Скорость при часо-вом режи-ме, км/ч	Тяговый электродви-гатель			Тип аккумулятор-ной батареи	Основные размеры, мм			Хесткая база, мм
					Тип	Чис-ло	Суммарная мощность, кВт		Длина по буферам	Ширина по выступающим частям	Высота от головки рельса	
АК-2у	2,2	600 900	224/330 ^{x)}	3,45/3,95 ^{x)}	МТ-2	I	2,45/4 ^{x)}	36ТЭН-300	2015	900 1050	1180	650
4,5АР12М	4,5	600 900	700	6,66	ЭДР6	2	I2	66ТЭН300	3300	1000 1300	1400	900
5АР52	5	600 900	700	6,66	ЭДР6	2	I2	66ТЭН300п	3480	1000 1300	1450	950
АР17	7	600 900	910	7,5	ДРТ10	2	20	102ТЭН550-У5	4200	1050 1350	1500	1500
АРВ7	7	600 900	910	7,5	ДРТ10	2	20	88ТЭНК400-75	4200	1050 1350	1500	1500
АМ8-II-600	8	600	1160	6,0	ДРТ12	2	20,3	96ТЭН-350	4550	1045	1415	1200
АН8-II-900	8	900	1160	7,2	ДРТ12	2	24	112ТЭН-350	4550	1345	1415	1200
2АМ8Д-600	16	600	2320	6,0	ДОРТ12	4	40,6	2x96ТЭН-350	9470	1045	1415	1200
2АМ8Д-900	16	900	2900	7,2	ДРТ12	4	48	2x112ТЭН-350	9470	1345	1415	1200
АЕП10	10	600	1220	7,07	ДРТ13	2	26	112ТЭН550	5095	1060	1510	1300
АРН14	14	900	1780	9,12	ДРТ23	2	46	161ТЭНК-600	5865	1360	1510	1650
АРН28	28	900	3560	9,12	ДРТ23	4	92	161ТЭНК-600	11870	1360	1510	1650
^{x)} В числителе - значения при полном поле, в знаменателе - при ослабленном КОНТАКТНЫЕ ЭЛЕКТРОВОЗЫ												
7КР1у	7	600 900	1680	10,5	ЭДР25	2	50	-	4500	1032 1332	1500 ^{xx)}	1200
K10	10	600 900	1660	12,2	ЭТ31	2	62	-	5200/4760 ^{xx)}	1050 1350	1800	1200
K14	14	600 900	2400	12,8	ЭТ46	2	90	-	5750/5440 ^{xx)}	1350	1800	1800

^{xx)} Высота по кабине электровоза^{xxx)} В числителе - длина с автосцепкой, в знаменателе - со штыревой сцепкой

Таблица 3

Техническая характеристика тяговых аккумуляторных батарей

Техническая характеристика	Модели батареи									
	36THEL350	66THEL350п	96THEL500	II2THEL500	I26THEL650	36T2H300	66T2H300	66T4H250	66T4H350	II2T4H350
Номинальная емкость батареи, А·ч	350	300	500	500	650	300	300	250	300	550
Число аккумуляторов в батарее	36	66	96	II2	I26	36	66	42	92	II2
Зарядный ток, А	90	75	II5	II5	I65	75	75	62,5	90	I55
Разрядный ток тягового режима, А	70	60	100	100	I30	60	60	50	70	II0

Таблица 4

Техническая характеристика рулничных гибовозов

Модель гибовоза	Сред- няя масса <i>N</i>	Сила тяги, Н	Колея, мм	Тип дре- гателя	Мощ- ность дре- гателя, Бт	Маховик				Длина про- бега в ра- бочем режи- ме при тя- говом уси- лии 200 кг/м, м	Количество воздуха, по- требляемое двигателем за время одной за- рядки, м ³ х	Основные размеры, мм			Достаточная база, мм	
						Чис- ло	Мас- са, кг	Угловая скорость вращения, об/мин	Запас энер- гии, кВт			Длина по стенкам буферам	Ширина	Высота		
ГР 4	5,7	250	600	КЭОФ16	40	I	1650	3000	2,86	2000	300	16	3400	1020	1400	900
ГР 5	5,9	250	900	КЭОФ16	40	I	1650	3000	2,86	2000	300	16	3400	1020	1400	900

x) При давлении воздуха в сети 50 Па

Таблица 5

Техническая характеристика монорельсовых, канатных и напочвенных дорог

Параметры	Типы дорог											
	Грузолюдские монорельсовые		Монорельсовая грузовая 8МКД-4м	Напочвенная канатная ДКН и ДН15	Монорельсовая грузовая ДМ1	Канатная подвесная ИКГД	Моноканатная подвесная ДКЛ	Грузолюдские моноканатные			Подвесная канатная ДКП2	Монорельсовая с дизелевозом ДМВ5
	4ДМК	6ДМК						МДК1	МДК2	МДК3		
Максимальная длина транспортирования, м	1200	2000	1200	1500	400	1200	800	400	800	1200	1000	не ограничена
Грузоподъемность, кг	4000	4000	1000	15000	450	4000	3000	280 чел/ч	250 чел/ч	224 чел/ч	2000	1000
Максимальный угол наклона, град	12	18	10	5	14	25	25	25	25	15	15	12
Скорость транспортирования, м/с	0,25 1,26	0,45; 0,8; 1,85	0,85	0,25 1,85	0,575 0,84	0,7 1,2	1,2	1,2	1,2	1,2	0,7	до 1,85
Тяговое усилие, кг	3560	3560	-	3200	1600	3000		2000	2600	2600	1200	2700
Мощность привода, кВт	45	45	10	45	22	30	20	25	40	40	13	45
Сечение выработки, м ²	7,0	7,0	6,0	6,0	7,0	4,8	6,0	7,0	7,0	7,0	6,0	7,0

Таблица 6
Характеристика лебедок для откатки концевым
канатом

Показатели	Лебедки			
	БЛ200/ 1030-2М	2БЛ200/ 820-2М	ЛГЛ600/ 1200	2ЛГЛ600/ 820
Скорость каната, м/с	2	2	4	4
Диаметр каната	17,5	18,5	25	25
Установленная мощность двигателя, кВт	60	50	160	160
Стоимость 1 м каната, руб.	0,33	0,35	0,45	0,45
Оптовая цена, руб.	6450	6840	17400	19800
Объем камеры лебедки, м ³	140	140	250	275

Таблица 7
Техническая характеристика пассажирских
вагонеток для горизонтальных выработок

Параметры	Вагонетка				
	ВП2	ВП8	ВПГ12	ВПГ18	ВПГ24
Число посадочных мест	12	18	12	18	24
Колея, м	600	900	600	900	900
Максимальное усилие на сцепке, N	6000	6000	3000	3000	3000
Основные размеры, мм					
длина	4500	4500	4800	4800	6400
ширина	1025	1325	1050	1350	1450
высота	1530	1530	1500	1500	1500
Масса вагонетки, кг	1547	1757	1600	1800	2400

Таблица 8

Техническая характеристика пассажирских вагонеток для перевозки людей по наклонным выработкам

Параметры	Вагонетка				
	ВЛН1-10	ВЛН1-15	ВЛН2-10	ВЛН2-15	ВЛН3-6
Колея, мм	600	900	600	900	600
Число посадочных мест	10	15	10	15	6
Максимальное усилие на сцепке, Н					
головной вагонетки	8500	8500	8500	8500	5000
прицепной вагонетки	7000	7000	7000	7000	2500
Угол наклона выработки, град	6–30	6–30	6–50	6–50	40–80
Масса вагонетки, кг	2250	2650	2400	2800	2000

Приложение 2

Графики зависимости длины конвейерной установки от угла наклона выработки и эксплуатационной производительности конвейера

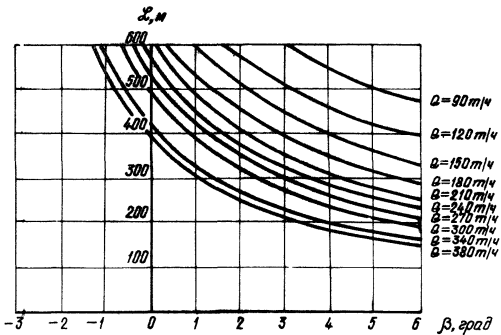


Рис. 1. Зависимость длины \mathcal{L} конвейера КЛ-150А2 от угла наклона β и производительности Q :

$Q=90-300 \text{ м}^3/\text{ч}$ при $V=1,6 \text{ м}/\text{с}$; $Q=340-380 \text{ м}^3/\text{ч}$ при $V=2,0 \text{ м}/\text{с}$

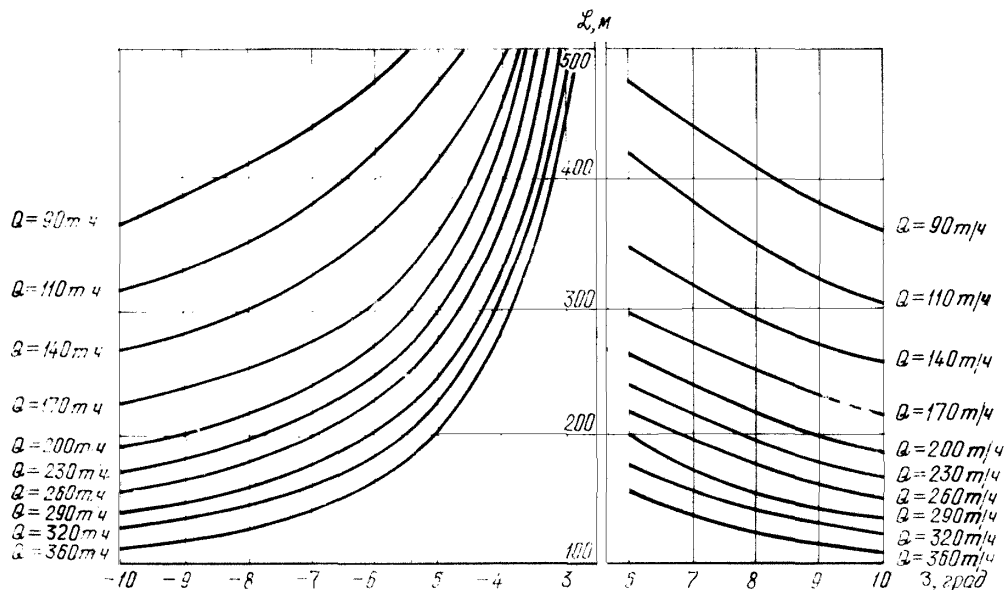


Рис. 2. Зависимость длины конвейера КЛ-150Ч2 от угла наклона и производительности

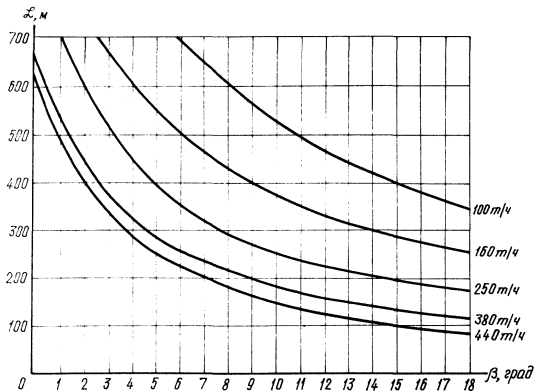


Рис. 3 Зависимость длины конвейера КЛА-250 от угла наклона и производительность

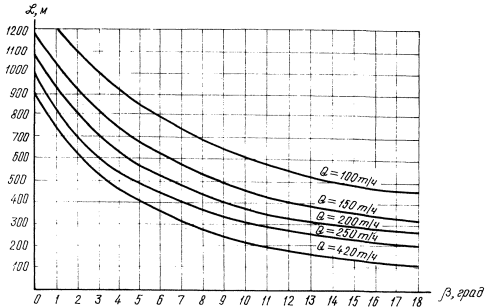


Рис. 4 Зависимость длины конвейера КП-1 от угла наклона и производительности

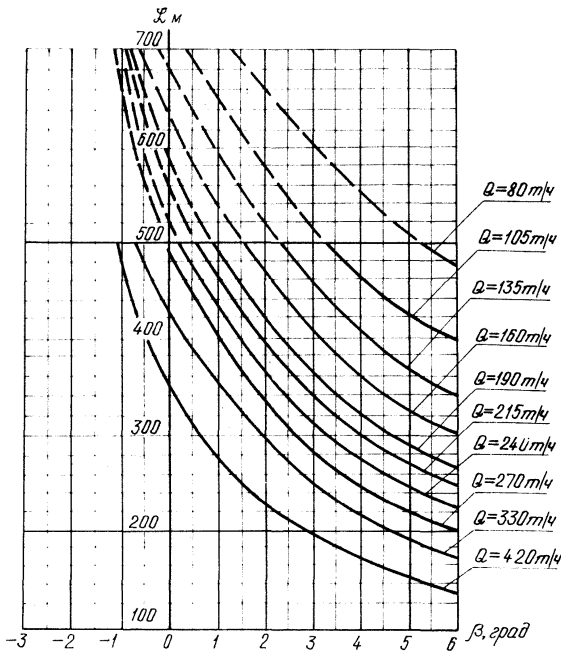


Рис. 5. Зависимость длины конвейеров 1Л80 и 1ЛТ80 от угла наклона и производительности

$Q=80-330 m/h$ при $V=1,6 m/s$; $Q=420 m/h$ при $V=2 m/s$; мощность привода $P=40 kW$

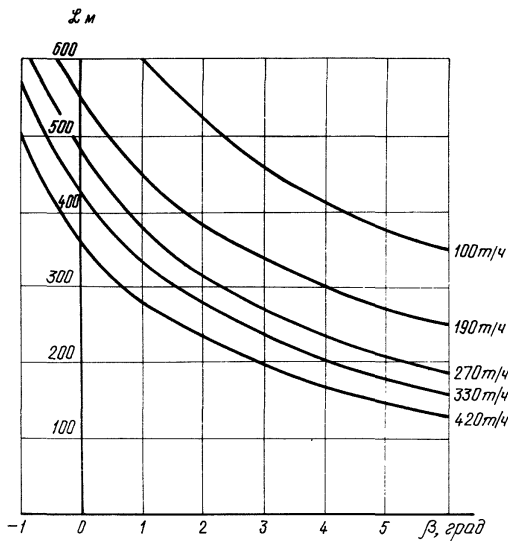


Рис.б. Зависимость длины конвейеров 1Л80 и 1ЛТ80 от угла наклона и производительности при $V=2 \text{ м/с}$ и $P=40 \text{ кВт}$

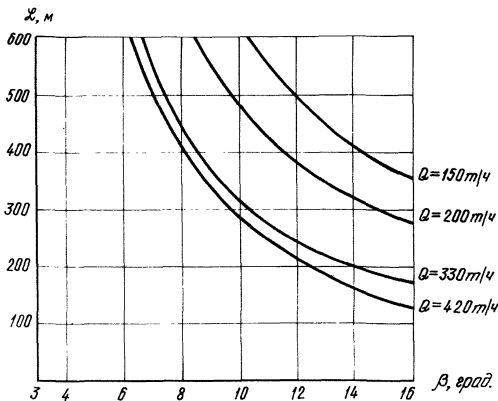


Рис. 7. Зависимость длины конвейера 1ПБ80 от угла наклона и производительности: $Q=150-330 \text{ м/ч}$ при $V=1,6$ и $2,0 \text{ м/с}$; $Q=420 \text{ м/ч}$ при $V=2,0 \text{ м/с}$

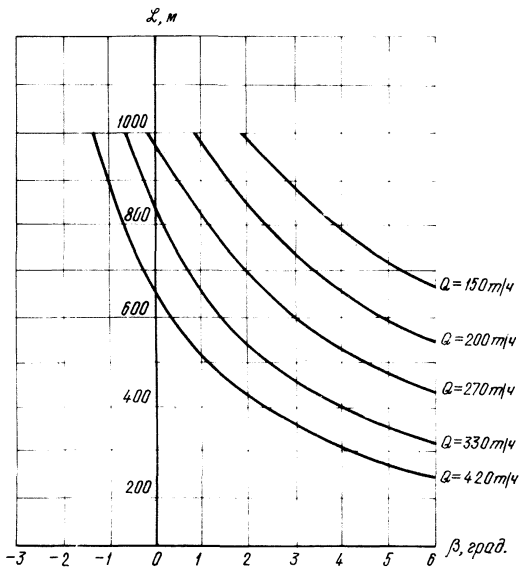


Рис. 8. Зависимость длины конвейеров 2Л80 и 2ЛТ80 от угла наклона и производительности: $Q=150-330 \text{ м/h}$ при $V=1,6 \text{ м/с}$; $Q=420 \text{ м/h}$ при $V=2,0 \text{ м/с}$; $P=80 \text{ кВт}$

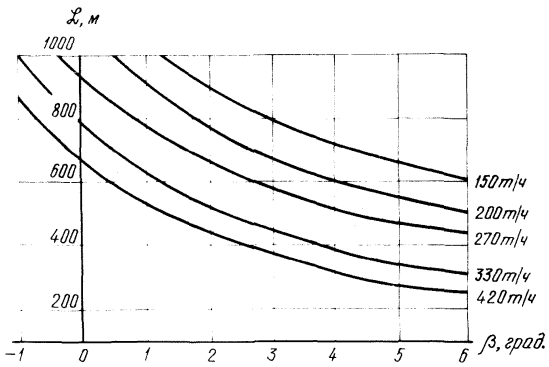


Рис. 9. Зависимость длины конвейеров 2Л80 и 2ЛТ80 от угла наклона и производительности при $V=2,0 \text{ м/с}$ и $P=80 \text{ кВт}$.

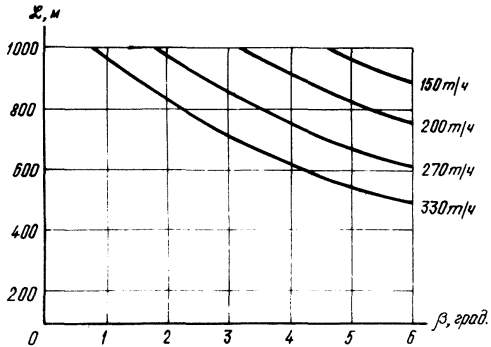


Рис. 10. Зависимость длины конвейеров 2Л80 и 2ЛТ80 от угла наклона и производительности при $V=1,6 \text{ м/с}$ и $P=100 \text{ кВт}$

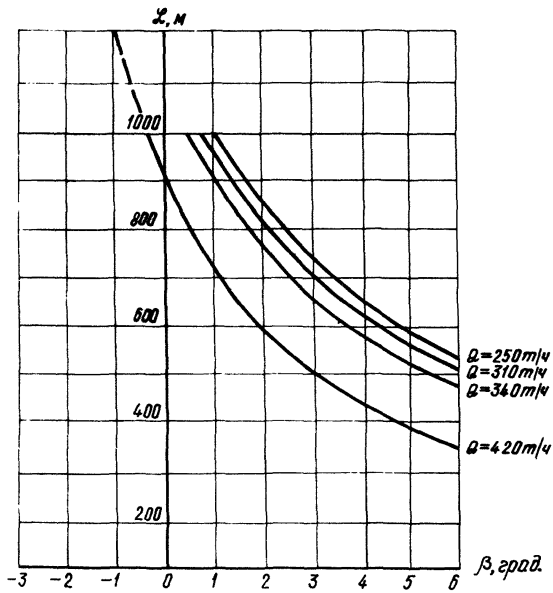


Рис. 11. Зависимость длины конвейеров 2Л80 и 2ЛТ80 от угла наклона и производительности при $V=2,0 \text{ м/с}$ и $P=110 \text{ кВт}$

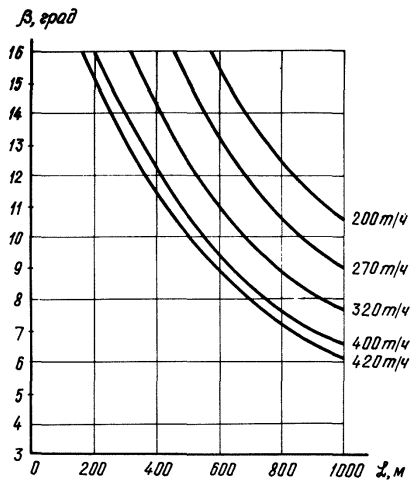


Рис. 12. Зависимость длины конвейера 2ЛБ80 от угла наклона и производительности при $V=2,0 \text{ м/с}$
и $P=110 \text{ кВт}$

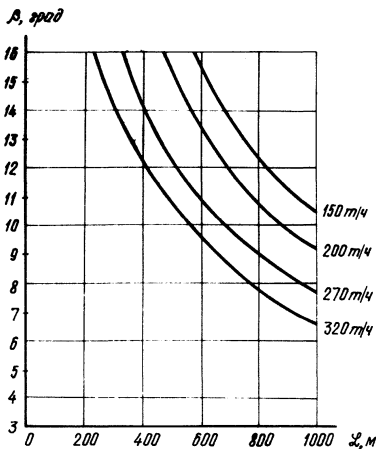


Рис. 13. Зависимость длины конвейера 2ЛБ80 от угла наклона и производительности при $V=1,6 \text{ м/с}$ и $P=110 \text{ кВт}$

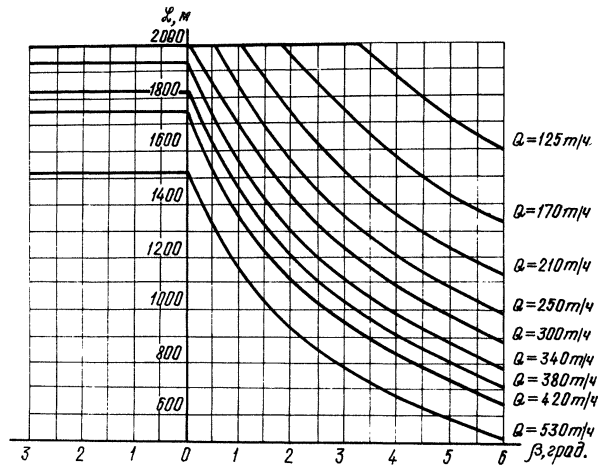


Рис. 14. Зависимость длины конвейера l от угла наклона и производительности

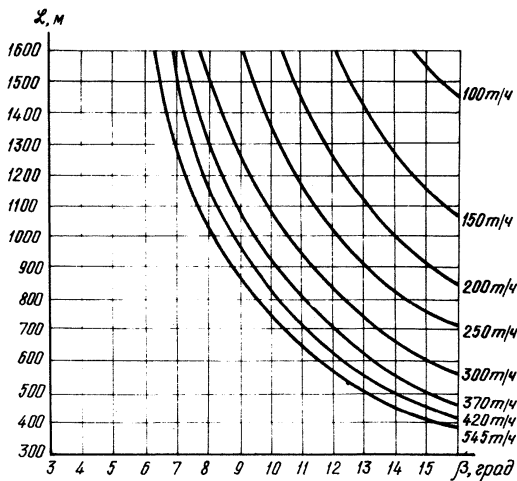


Рис. 15. Зависимость длины конвейера 1ЛБ100 от угла наклона и производительности

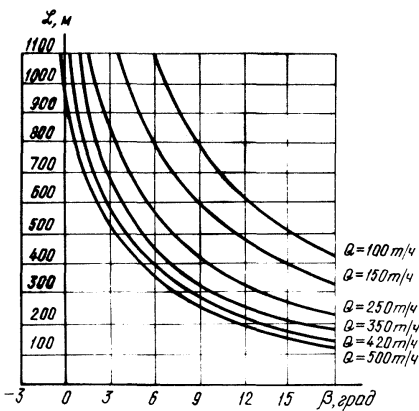


Рис.16. Зависимость длины конвейера 1Л100К от угла наклона и производительности

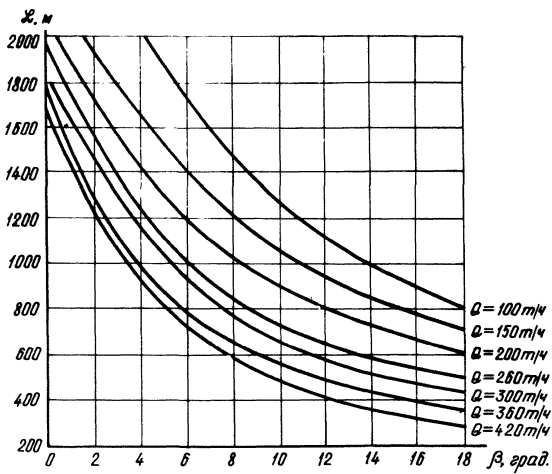


Рис. 17. Зависимость длины конвейера КРУ-260 от угла наклона и производительности

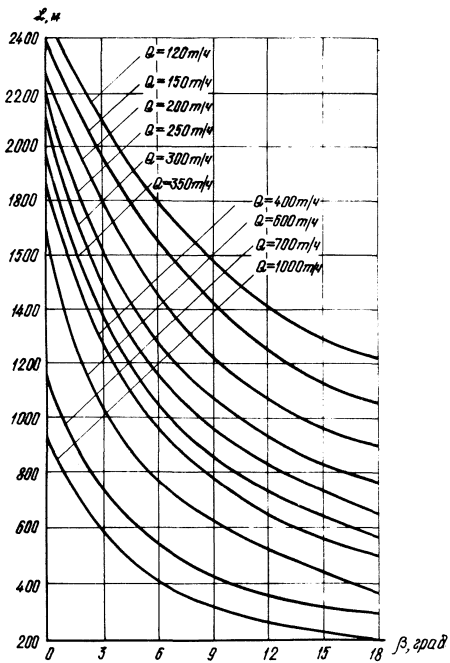
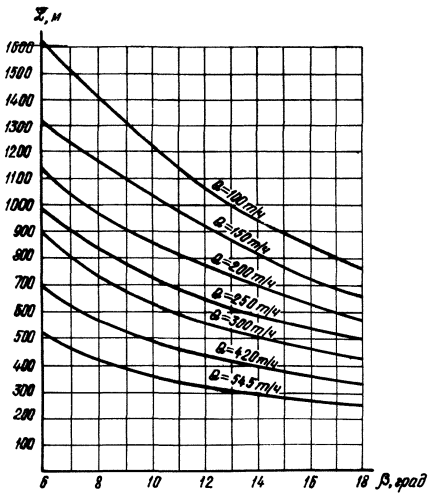


Рис. 18. Зависимость длины конвейера КРУ-350 от угла наклона и производительности



Дис. 19. Зависимость длины конвейера 1ЛЧ100 от угла наклона и производительности (резиновая лента)

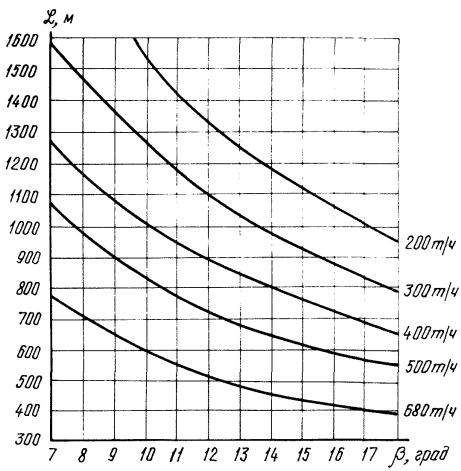


Рис. 20 Зависимость длины конвейера 2ЛУ100 от угла наклона и производительности

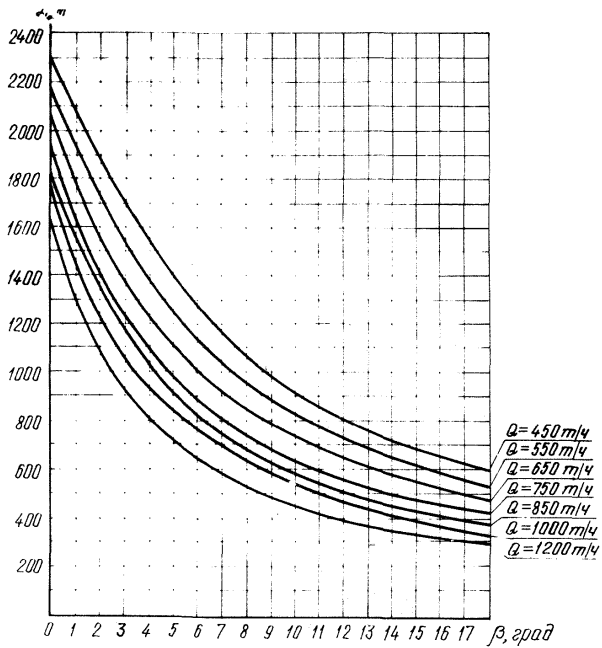


Рис. 21. Зависимость длины конвейера 1ЛЧ120 от угла наклона и производительности

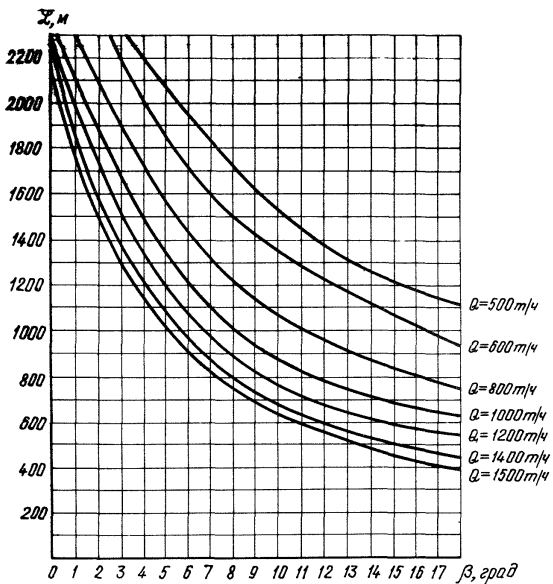


Рис. 22. Зависимость длины конвейеров 2ЛУ120А и 2ЛУ120В от угла наклона и производительности

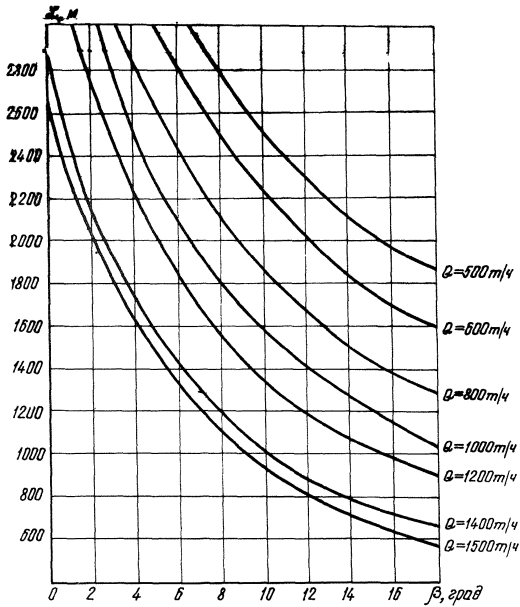


Рис. 23. Зависимость длины конвейера 2ЛУ120Б от угла наклона и производительности

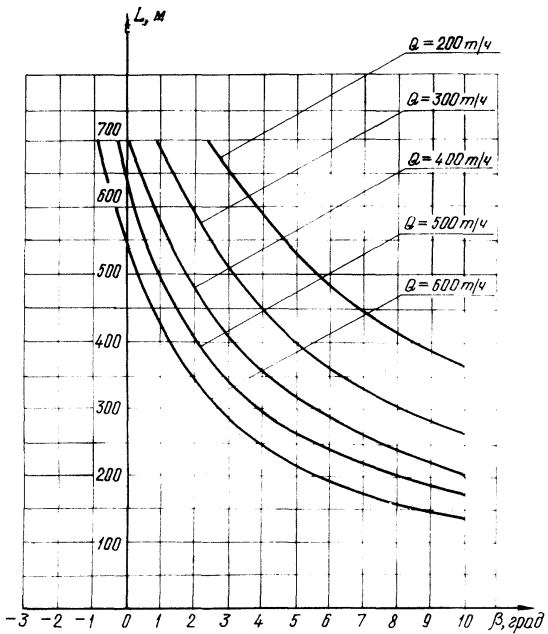


Рис. 24. Зависимость длины (L) конвейера 1П100К-1 от производительности (Q) и угла установки (β) при мощности привода $N=75 \text{ кВт}$ и скорости ленты $v=1,85 \text{ м/с}$

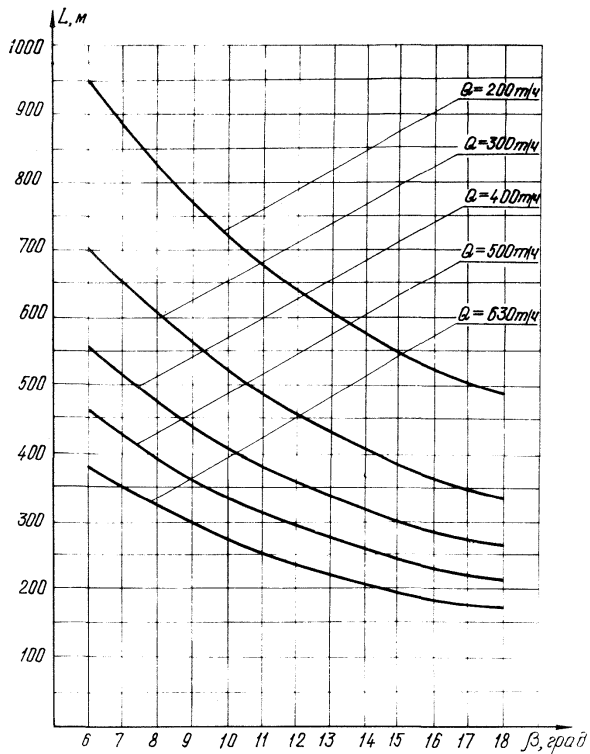


Рис. 25 Зависимость длины (L) конвейера ИЛ100К-01 от производительности (Q) и угла установки (β) при мощности привода $N = 150 \text{ кВт}$ и скорости ленты $V = 1,85 \text{ м/с}$

Приложение 3

Г Р А Ф И К И

**зависимости сменной производительности
электровозов от длины откатки**

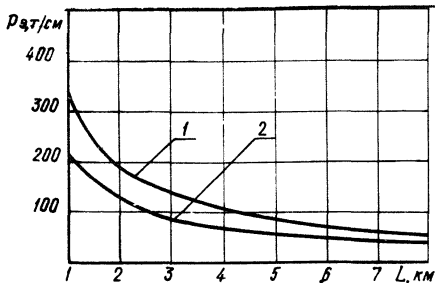


Рис.1. Сменная производительность электровоза АМ8 с составом вагонеток ВГ-1,3; ВГ-1,4; ВГ-1,6

1. Продолжительность маневровых операций-15 мин
2. Продолжительность маневровых операций-40 мин

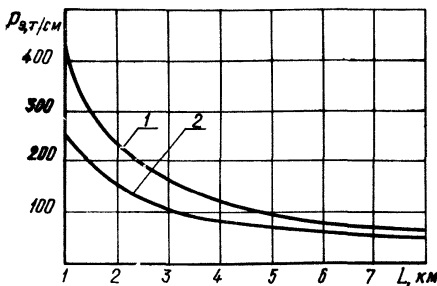


Рис.2. Сменная производительность электровоза АМ8 с составом вагонеток ВДК-1,5 или секционным поездом ПС-1,5

1. Продолжительность маневровых операций-15 мин
2. Продолжительность маневровых операций-40 мин

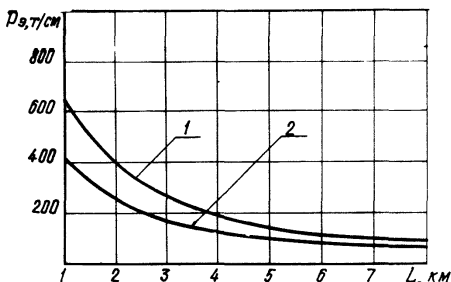


Рис. 3. Сменная производительность электротягоза 2АМ8 с составом вагонеток ВГ-1,3; ВГ-1,4; ВГ-1,6

1. Продолжительность маневровых операций - 15 мин
2. Продолжительность маневровых операций - 40 мин

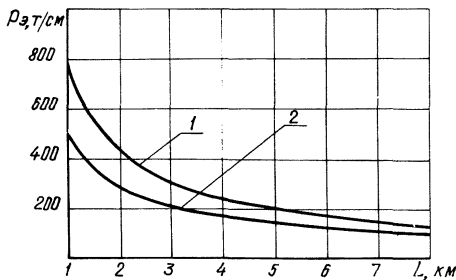


Рис. 4 Сменная производительность электротягоза 2АМ8 с составом вагонеток ВДК-1,5; ПС-1,5; ВГ-2,5

1. Продолжительность маневровых операций - 15 мин
2. Продолжительность маневровых операций - 40 мин

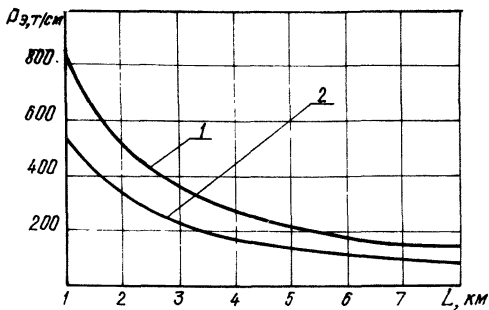


Рис. 5. Сменная производительность электровоза 2АМ8 с составом вагонеток ВГ-3,3; ВДК-2,5

1. Продолжительность маневровых операций - 15 мин
2. Продолжительность маневровых операций - 40 мин

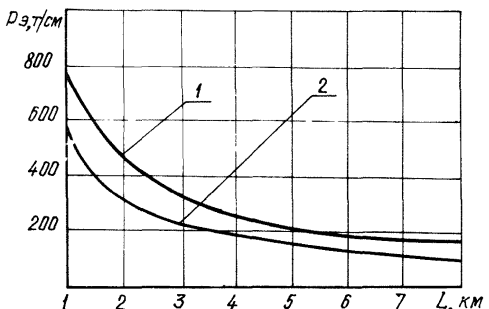


Рис. 6. Сменная производительность электровоза 1ЗАРП с составом вагонеток ВД-3,3, ПС-3,5

1. Продолжительность маневровых операций - 15 мин
2. Продолжительность маневровых операций - 40 мин

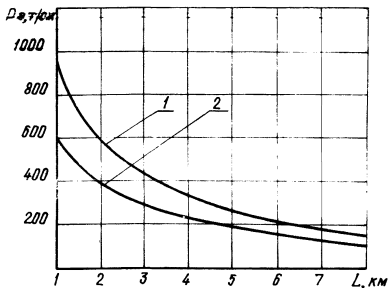


Рис.7 Сменная производительность электроподъемника 2АМ8 с составом вагонеток ВД-3,3; ПС-3,5

1. Продолжительность маневровых операций-15мин
2. Продолжительность маневровых операций-40мин

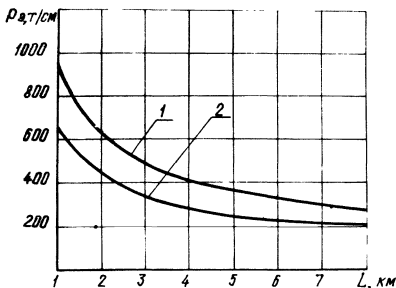


Рис.8 Сменная производительность электроподъемника АРП14 с составом вагонеток ВД-3,3; ПС-3,5

1. Продолжительность маневровых операций-15мин
2. Продолжительность маневровых операций-40мин

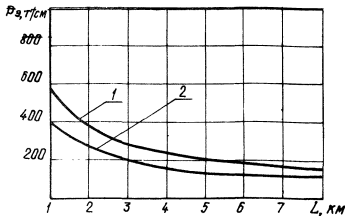


Рис. 9. Сменная производительность электроподъемника АРП14 с составом вагонеток ВГ-2,5

1. Продолжительность маневровых операций-15мин
2. Продолжительность маневровых операций-40мин

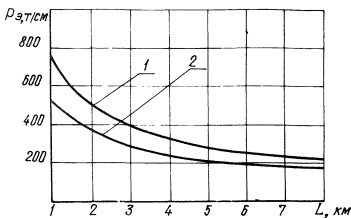


Рис. 10. Сменная производительность электроподъемника АРП14 с составом вагонеток ВДК-2,5; ВГ-3,3

1. Продолжительность маневровых операций-15мин
2. Продолжительность маневровых операций-40мин

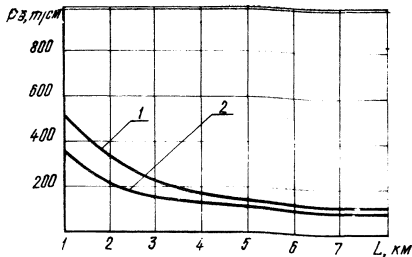


Рис. 11 Сменная производительность электропоезда ЗАР1 с составом вагонеток ВГ-2,5

1. Продолжительность маневровых операций-15 мин
2. Продолжительность маневровых операций-40 мин

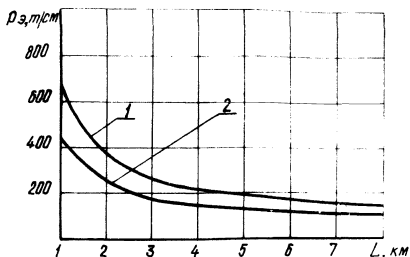


Рис. 12 Сменная производительность электропоезда ЗАР1 с составом вагонеток ВДК-2,5; ВГ-3,3.

1. Продолжительность маневровых операций-15 мин
2. Продолжительность маневровых операций-40 мин

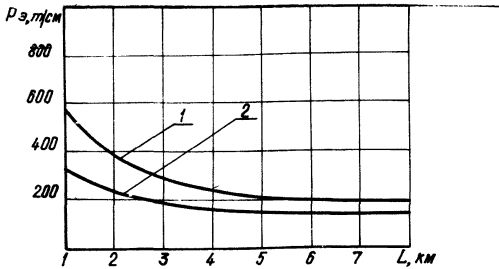


Рис. 13 Сменная производительность электровоза К10 (ЮКР) с составом вагонеток ВГ-13; 14; 1,6

1. Продолжительность маневровых операций-15мин
2. Продолжительность маневровых операций-40мин

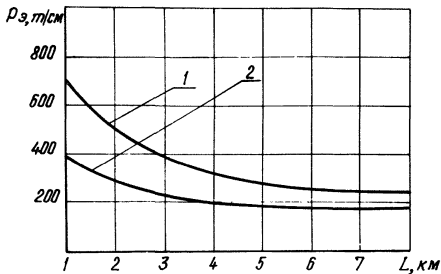


Рис. 14 Сменная производительность электровоза К10 (ЮКР) с составом вагонеток ВДК-1,5; ПС-1,5; ВГ-2,5

1. Продолжительность маневровых операций-15мин
2. Продолжительность маневровых операций-40мин

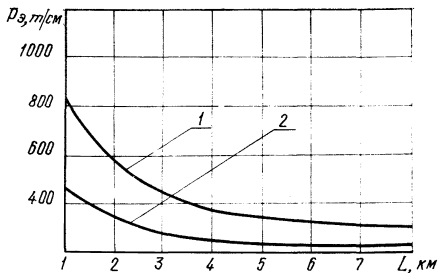


Рис. 15 Сменная производительность электровоза К10 (10КР) с составом вагонеток ВДК-2,5; ВГ-3,3

1. Продолжительность маневровых операций - 15мин
2. Продолжительность маневровых операций - 40мин

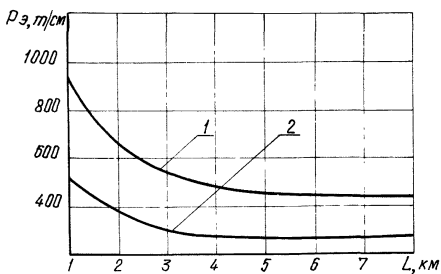


Рис. 16 Сменная производительность электровоза К10 (10КР) с составом вагонеток ВДК-3,3; ПС-3,5

1. Продолжительность маневровых операций - 15мин
2. Продолжительность маневровых операций - 40мин

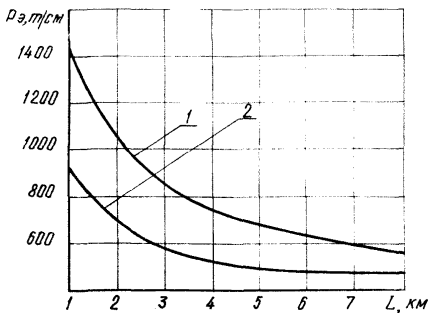


Рис. 17 Сменная производительность электротягоза К14 (14 кР) с составом вагонеток ВД-3,3; ПС-3,5

1. Продолжительность маневровых операций-15мин
2. Продолжительность маневровых операций-40мин

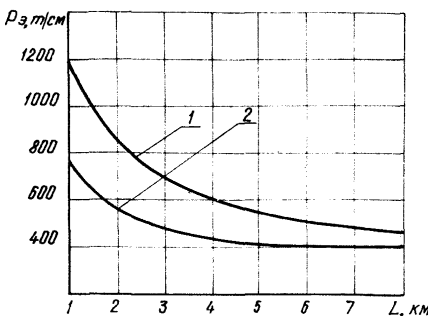


Рис. 18 Сменная производительность электротягоза К14 (14 кР) с составом вагонеток ВДК-2,5; ВГ-3,3.

1. Продолжительность маневровых операций-15мин
2. Продолжительность маневровых операций-40мин

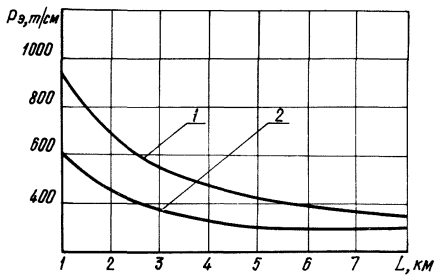


Рис. 19 Сменная производительность электровоза К14 (14 KP) с составом вагонеток ВГ-2,5

1. Продолжительность маневровых операций - 15 мин
2. Продолжительность маневровых операций - 40 мин

Приложение 4

РЕКОМЕНДАЦИИ

**по сокращению многозвездности подземного
транспорта шахты им. А.Ф. Абакумова (Донецккуголь)**

В руководстве даны рекомендации по сокращению многозвездности основного и вспомогательного транспорта при отработке запасов пл. m_3 и m_5 на западном крыле шахты им. А. Г. Абакумова (Донецк-уголь).

Предложены два варианта сокращения многозвездности транспорта: с локомотивной откаткой на горизонт 561 м и с конвейерной доставкой.

I. Состояние вопроса

На западном крыле шахты им. А.Ф.Абакумова имеет место многослойная система транспортирования угля, породы и вспомогательных материалов при отработке пластов m_3 и m_5 .

На рис. I. представлена схема действующих транспортных выработок шахты.

От всех очистных забоев до наклонных выработок (по участковым горизонтальным выработкам) транспорт угля осуществляется скребковыми и ленточными конвейерами.

Из уклональной части шахтного поля при отработке пласта уголь (горная масса) доставляется по:

3 западному конвейерному уклону пл. m_5 конвейером КЛУ100;

2 западному конвейерному уклону пл. m_5 шестью конвейерами КЛА-250.

Из бремсберговой части шахтного поля при отработке пласта уголь по 2 западному конвейерному уклону (бремсбергу) пл. m_5 доставляется конвейером КЛА-250.

С конвейеров, установленных во 2 западном конвейерном уклоне (бремсберге) пл. m_5 уголь через скат с пл. m_5 на пл. m_2 поступает на конвейерную линию 2 западного уклона пл. m_2 .

Из очистных забоев пл. m_3 на конвейерную линию 2 западного уклона пл. m_2 уголь поступает через скаты с пл. m_3 на пл. m_2 .

2-й западный уклон пл. m_2 оборудован шестью конвейерами КЛА-250 и одним конвейером КЛ I/5.

От 2-го западного уклона пл. m_2 уголь (горная масса) к загрузочному устройству скипового ствола № 2 гор. 204 м доставляется по:

514 конвейерному штреку конвейерами СП-63: КЛ-I50 и четырьмя конвейерами КЛА-250;

наклонному конвейерному квершлагу с пл. m_2 на пл. m_5 двумя конвейерами КЛА-250;

1 западному конвейерному уклону пл. m_5 - тремя КЛА-250;

главному конвейерному штреку - двумя ЛКУ-250.

Вспомогательные материалы при отработке рассматриваемого участка шахтного поля доставляются:

от околоствольного двора гор. 204 м к западному ходку пл. m_2

по западному коренному откаточному штреку - электровозами;
по двум западным ходкам конвейерного уклона пл. m_2 - откатками одноконцевым канатом;
по откаточному квершлагу с пл. m_2 на пл. m_5 электровозами;
по вспомогательному уклону пл. m_5 - откаткой одноконцевым канатом.

Транспортирование людей осуществляется к забоям:
пласта m_3 по I западному коренному откаточному штреку
пл. m_2 в вагонетках ВЛ-12; двумя восточными ходками 2 западного
уклона пл. m_2 одноконцевыми канатами в вагонетках ВЛЗО/10; за-
падному ходку 2 западного уклона моноканатной кресельной доро-
гой МДК;
пласта m_5 по II западному коренному откаточному штреку
пл. m_5 электровозами в вагонетках ВЛ-12; ходку 2 западного
уклона пл. m_5 откаткой одноконцевым канатом в вагонетках
ВЛЗО/15; ходку 3 западного конвейерного уклона пл. m_5 моноканат-
ной кресельной дорогой МДК.

2. Анализ горнотехнических условий работы транспорта

Показатели, характеризующие горнотехнические условия ра-
боты транспорта приведены в таблицах I-4.

Анализ горнотехнических условий работы транспорта показал,
что на рассматриваемом крыле шахты имеет место многозвенная
транспортная система при:

транспортировании угля от очистных забоев к загрузочному
устройству склонового ствола гор. 204 м;

доставке вспомогательных материалов от околоствольного
двора гор. 204 м до очистных забоев пл. m_3 ;

перевозка людей к месту работы и обратно.

В связи с вышеизложенным представляется целесообразным
разработать технические решения по сокращению многозвенности
транспорта угля и вспомогательных материалов и перевозки людей.

Таблица I

Показатели работы очистных забоев

# п/п	Показатели	Бук- вен- ные обоз- значе- ния	Ед. изм.	Наименование лав							
				4вост. шл.	3 зап. шл.	IIвост. шл.	I2зап. шл.	IIзап. шл.	I3зап. шл.	II3зап. шл.	IIвост. шл.
1.	Суточная добыча	$A_{сум}$	т	1200	800	600	400	400	700	400	400
2.	Вынимаемая мощность пласта	m	м	1,20	1,10	1,4	1,05	0,70	1,00	1,00	1,10
3.	Объемный вес угля в целике	t'	$\text{т}/\text{м}^3$					1,35			
4.	Длина очистного забоя	$L_{o.z}$	м	240	250	250	260	230	250	300	260
5.	Тип выемочной машины			2K-52	2K-52	2K-52	IK-10I	MK-67	IK-10I	MK-67	MK-67
6.	Количество рабочих циклов машины в смену	N	цикл.				1,5+2,0				
7.	Коэффициент машинного времени	K_m		0,33	0,23	0,18	0,13	0,13	0,21	0,13	0,13
8.	Глубина захвата	δ	м	0,7	0,7	0,7	0,7	0,8	0,7	0,8	0,8
9.	Режим работы очистного забоя						I смена ремонтная и 3 смены добывчих				
10.	Тип скребкового конвейера						СИМ-87Д	СИ-63М			
II.	Максимальный минутный грузо- поток	P_{max}	$\text{т}/\text{мин}$	4,05	3,72	4,73	3,65	2,70	3,38	2,7	2,7

Таблица 2

Сведения о локомотивной откатке (по каждому маршруту)

Наименование маршрутов	Длина маршрута, м	Сменный грузо-поток по маршруту, т			Режим работы	Тип локомотива	Число локомотивов	Тип вагонетки	Коэффициент сцепления	Продолжительность маневровых операций, мин	При- ме- чание
		Уголь	Поро-да	Ма-териа-лы							
I западный коренной откаточный штrek пл. m_2	1800	200	25	4x6	AM8Д	2	УВГ-1,6	0,09	10	8	
II западный коренной откаточный штrek	1500		10	4x6	AM8Д	I	УВГ-1,6 ВЛ-1,2	0,09	10	10	
Откаточный квершлаг с пл. m_2 на пл. m_5	800	100	15	4x6	IZAP II	I	УВГ-25	0,09		10	

Таблица 3

Сведения о конвейерном транспорте (конвейеры в каждой выработке
рассматривать последовательно по направлению перемещения грузов)

Наименование конвейеризированной выработки, м	Длина выработки, м	Угол наклона выработки, град	Сечение выработки, м ²	Тип и количество конвейеров в выработке	Максимальный грузопоток по выработке, т/сут	Режим работы	Срок службы, лет	Примечание
3-й западный конвейерный уклон пл. m_5	560	8	II, 2	ЛЛУ-100-Шт.	1400	3x6	20	
2-й западный конвейерный уклон пл. m_5								
уклонная часть	1300	10	II, 2	КЛА-250-6шт.	1800	3x6	20	
брюмсберговая часть	400	10	II, 2	КЛА-250-1шт.	650	3x6	10	
2-й западный конвейерный уклон пл. m_2	1400	10-12	II, 2	КЛА-250-2шт. КЛП/5-1 шт. КЛА-250-4шт.	4000	3x6	20	нагрузка 900 т/сут нагрузка 2600 т/сут нагрузка 4000 т/сут
54514 конвейерный штрек пл. m_2	1200	-	II, 2	КЛА-250-4шт.	4000	3x6	20	
Наклонный конвейерный квершлаг с пл. m_2 на пл. m_5	3000	8	I5, 5	КЛА-250-2шт.	4000	3x6	20	
I-й западный уклон пл. m_5	400	9	II, 2	КЛА-250-3шт.	4000	3x6	20	
Главный конвейерный штрек пл. m_5	500	-	I3,8-I5,5	ЛКУ-250-2шт.	4000	3x6	20	

Таблица 4

Сведения о транспорте по наклонным выработкам (концевой канатной откатке или откатке бесконечным канатом)

Наименование выработки	Протя- жен- ность тран- спор- тиро- вания, м	Угол нак- лона выра- бот- ки, град	Тип подзем- ной ма- шины	Ре- жим рабо- ты	Тип и груzo- подъeм- ность	Коли- чест- во ве- го на- гоне- ток в сос- таве,	Продол- житель- ность подгото- вительно- го цикла	Ско- рость откат- ки	Суммар- ная продол- житель- ность пауз за рабочий цикл,	Коэффи- циент нерав- номер- ности работы тран- спор- тной ус- тановки
	I	2	3	4	5	6	7	8	9	II
Западный ходок (верхний) 2 конв. уклона пл. m_2	800	II	ТЛ-7	3x6	ВГ-I,6	6	60	3,5	I2	I,5
Восточный ходок (верх- ний) 2 конв. уклона пл. m_2	800	II	ЕМ-2000	4x6	ВЛЭО/I0	4	60	-	-	-
Западный ходок (сред- ний) 2 конв. уклона пл. m_2	750	I0-I2	ЕМ-2500	3x6	ВГ-I,6	6	60	3,5	I4	I,5
Восточный ходок (сред- ний) 2 конв. уклона пл. m_2	750	I0-I2	ЕМ-2500	4x6	ВЛЭО/I0	3	60	-	-	-

Продолжение табл.4

	I	1	2	1	3	1	4	1	5	1	6	1	7	1	8	1	9	1	10	1	II
Западный ходок (нижний) 2 конв. уклона пл. m_2		750	I2	МДК		4x6		-		-		60		-		-		-		-	
ходок 2 зап. уклона пл. m_5		I600	9	БМ-2500		4x6	ВЛ30/15	3		60		-		-		-		-		-	
Западный ходок 2 зап. уклона пл. m_5		440	9	БЛ-I200		3x6	ВГ-I,6	3		60		3,5	I5		I5		I,5		I,5		
Вспомогательный уклон пл. m_5		II60	8	ЦЗх2,2		3x6	ВГ-I,6	6		60		4,5	I5		I5		I,5		I,5		
ходок 3 зап. конвейер- ного уклона пл. m_5		I025	8	МДК		4x6		-		-		60		-		-		-		-	

3. Рекомендации по сокращению многозвездности подземного транспорта

В результате анализа горнотехнических условий работы транспорта на западном крыле шахты при отработке пластов m_3 и m_5 предложены два варианта сокращения многозвездности транспорта угля, вспомогательных материалов и перевозки людей:

транспортирование угля, породы и вспомогательных материалов осуществлять по западному откаточному квершлагу с пл. ℓ_4 на пл. m_5 гор. 56I м (рис.2, вариант I);

доставку угля осуществлять по западному конвейерному квершлагу гор. 56I м, транспортирование вспомогательных материалов и перевозку людей производить по западному откаточному квершлагу с пл. ℓ_4 на пл. m_5 (рис.3, вариант 2).

Вариант II (рис.2).

Для осуществления этого варианта необходимо:

с пл. ℓ_4 на пл. m_5 гор. 56I м пройти западный откаточный квершлаг;

с 2 западного конвейерного уклона пл. m_2 на горизонте 13 лав на западный откаточный квершлаг гор. 56I м пройти скат.

В результате схема транспорта западного крыла шахты примет вид.

При транспортировании угля.

С пласта m_5 , как и в настоящее время, уголь будет доставляться: из уклонной части шахтного поля по:

3 западному конвейерному уклону пл. m_5 конвейером ИЛУ-100;

2 западному конвейерному уклону пл. m_5 шестью конвейерами КЛА-250;

из бремсберговой части шахтного поля по 2 западному конвейерному уклону (бремсбергу) пл. m_5 конвейером КЛА-250.

С конвейеров, установленных во 2 западном конвейерном уклоне пл. m_5 , уголь из всех очистных забоев пл. m_5 через скат с пл. m_5 на пл. m_2 поступает на конвейерную линию 2 западного конвейерного уклона пл.

Уголь из очистных забоев пл. m_3 через скаты с пл. m_3 на пл. m_2 поступает:

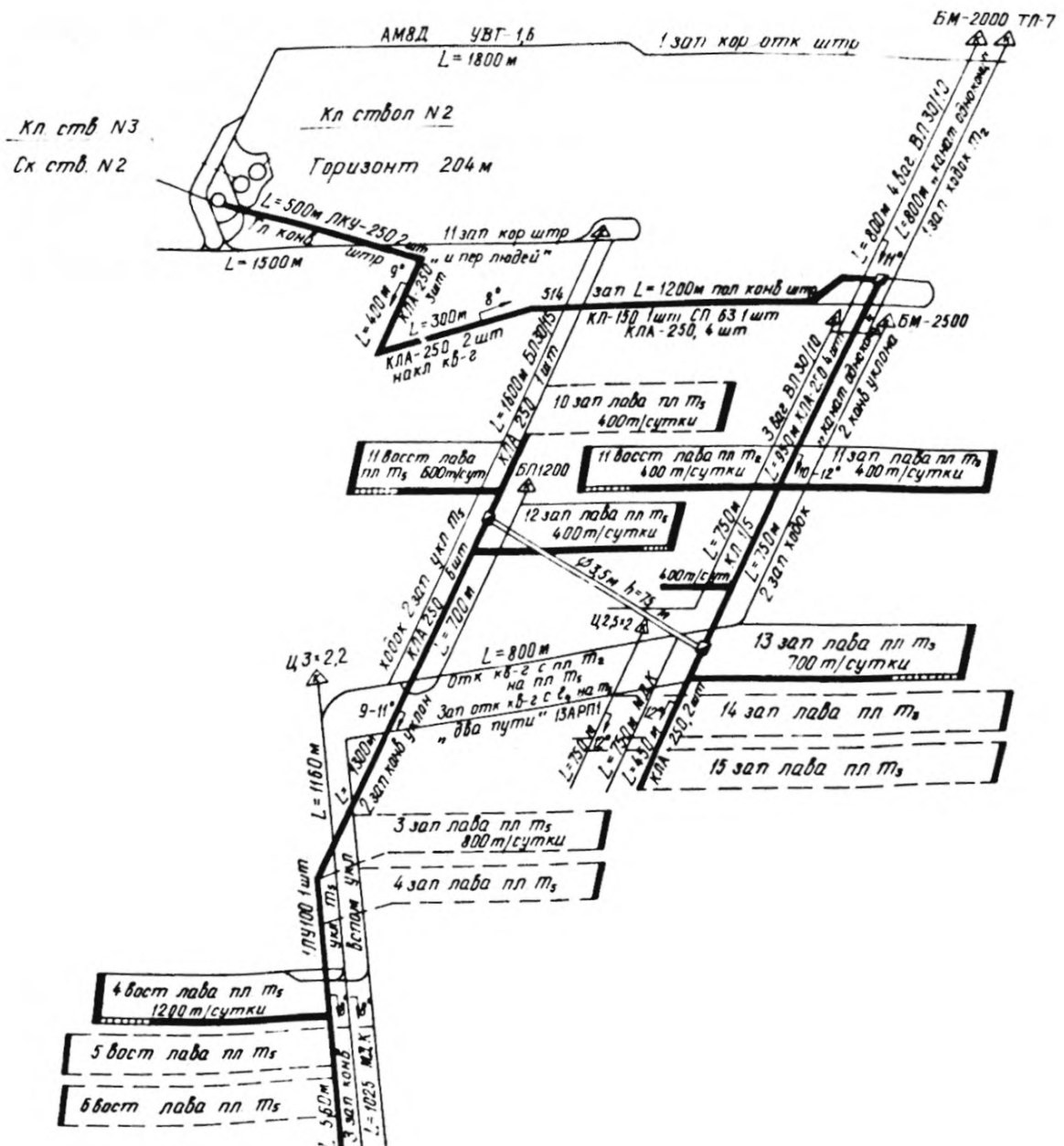


Рис. 1. Схема транспорта западного крыла шахты им. А.Ф. Абакумова (Базовый вариант)

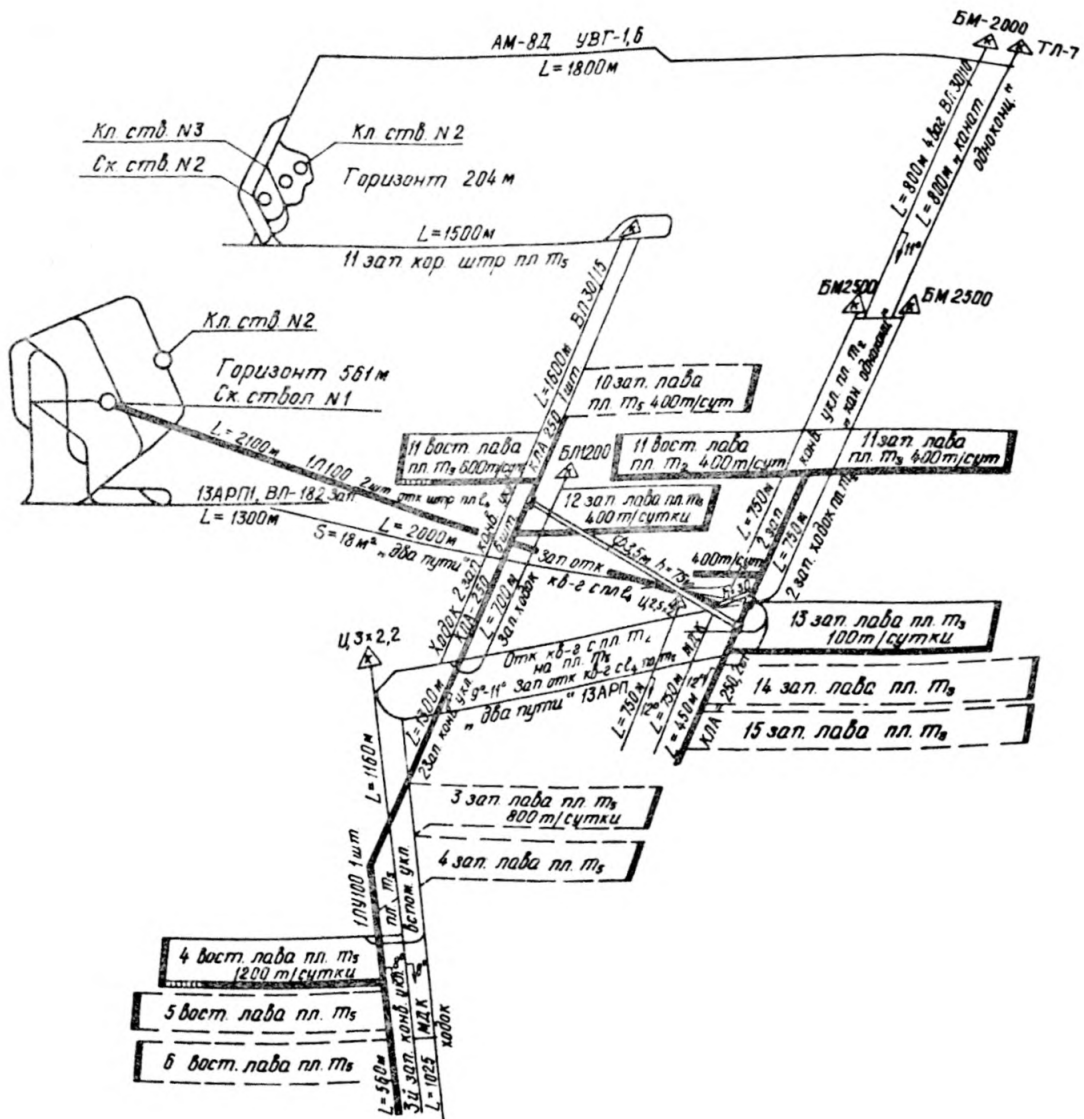


Рис.3. Предлагаемая схема транспорта западного крыла шахты им. А.Ф. Абдикимова (II вариант)

выше места сопряжения 2 западного конвейерного уклона пл. m_1 и западного откаточного квершлага гор. 56I м – на бремсберговую часть 2 западного уклона пл. m_2 , оборудованную конвейером КЛА-250 и конвейером КЛ I/5;

ниже места сопряжения – на наклонную часть 2 западного уклона пл. m_2 , оборудованную двумя конвейерами КЛА-250.

От 2 западного уклона пл. m_2 добыча из забоев пластов m_1 и m_3 , рассматриваемого участка шахтного поля доставляется по западному откаточному квершлагу в вагонетках ВГ-2,5 электровозами 2АМ-8 в околосвольный двор гор. 56I м.

Вспомогательные материалы будут доставляться:

от околосвольного двора гор. 56I м к западному ходку 2 конвейерного уклона пл. m_2 и вспомогательному уклону пл. m_5 по 2 западному полевому откаточному штреку пл. ℓ_4 , западному откаточному квершлагу с пл. ℓ_4 на пл. m_5 – электровозами;

по западному ходку конвейерного уклона пл. m_2 и вспомогательному уклону пл. m_5 – откатками одноконцевым канатом.

Перевозку людей осуществлять по существующей схеме транспорта.

Вариант 2 (рис.3).

Вариант 2 является дальнейшим развитием технологической схемы транспорта, предусмотренной вариантом I.

Для осуществления второго варианта технологической схемы транспорта рассматриваемого участка шахтного поля необходимо:

у скипового подъема на гор. 56I м оборудовать горный бункер вместимостью 900 м³;

от 2 западного конвейерного уклона пл. m_2 к бункеру у скипового подъема гор. 56I м пройти западный конвейерный квершлаг длиной 2100 м с углом наклона $\alpha = 1^{\circ}$ и оборудовать конвейерами;

2 западный конвейерный уклон пл. m_2 и вновь пройденный западный конвейерный квершлаг сбить скатом длиной 30 м и диаметром 3,5 м.

При втором варианте будет иметь место следующая схема транспорта для угля:

уголь из всех очистных забоев пластов m_5 и m_3 до ската с 2 западного конвейерного уклона на западный конвейерный квершлаг будет транспортироваться по схеме, предусмотренной

вариантом I;

от ската до бункера у скипового подъема гор. 56I м доставка угля будет осуществляться конвейерами по западному конвейерному квершлагу.

Транспортирование людей к забоям пластов m_3 и m_5 осуществлять: по 2 западному полевому откаточному штреку пл. ℓ_4 , западному откаточному квершлагу с пл. ℓ_4 на пл. m_5 электровозами в вагонетках ВЛ-12; восточному ходку 2 западного уклона пл. m_2 – одноконцевым канатом в вагонетках ВЛ30/10; западному ходку 2 западного уклона пл. m_2 – моноканатной кресельной дорогой МДК; ходку 3 западного конвейерного уклона пл. m_5 моноканатной дорогой МДК.

Доставка вспомогательных материалов будет осуществляться по схемам, предусмотренным вариантом I.

4. Выбор транспортного оборудования по предложенным вариантам

Так как предлагаемые варианты технологических схем по сокращению многозвенности подземного транспорта западного крыла шахты им. А.Ф.Абакумова предусматривают в обоих случаях использование существующей в настоящее время на шахте транспортной цепи по доставке угля от очистных забоев пластов m_3 и m_5 до ската с конвейерного уклона пл. m_2 на западные квершлаги гор. 56I м (откаточный квершлаг с пл. ℓ_4 на пл. m_5 и конвейерный квершлаг), то выбор транспортного оборудования и его количества произведен для следующих выработок:

по варианту I

выбор типа и количества электровозов для откатки угля, породы, доставки вспомогательных материалов и оборудования, по западному откаточному квершлагу с пл. ℓ_4 на пл. m_5 ;

по варианту 2

выбор типа и количества конвейеров для доставки угля по западному конвейерному квершлагу гор. 56I м;

выбор типа и количества электровозов для откатки породы, доставки вспомогательных материалов и оборудования, перевозки людей по западному откаточному квершлагу с пл. ℓ_4 на пл. m_5 .

Выбор типа и количества транспортного оборудования для предлагаемых вариантов по сокращению многозвездности транспорта произведен в соответствии с требованиями "Руководства..." и представлен в табл.5.

Таблица 5

Сведения
о транспортном оборудовании, принятом в сравниваемых
вариантах сокращения многозвездности транспорта

Вариан- ты тех- нологи- ческих схем транспор- та	Наименование тран- спортных звеньев	Рас- стоя- ние дос- тав- ки (от- кат- ки), м	Данные о гру- зопотоке			Транспортное оборудование	Коли- чество	
			1	2	3	4	5	
					6	7		
Сущест- вующая схема (базо- вый ва- риант)	I западный коренной откаточный штрек пл. m_2	1800	Порода, материалы, люди	800	AM8Д	2		
	II западный коренной откаточный штрек пл. m_5	1500	Материа- лы, люди		AM8Д	I		
	Откаточный квершлаг с пл. m_2 на пл. m_5	800	Порода, мате- риалии	400	ИЗАРП	I		
	I западный ходок пл. m_2	800	Порода, мате- риалии	800	ТЛ-7	I		
	I восточный ходок пл. m_2	800	Люди		ЕМ-2000	I		
	2 западный ходок пл. m_2	750	Порода, мате- риалии	800	ЕМ-2500	I		
	2 восточный ходок пл. m_2	750	Люди		ЕМ-2500	I		
	Ходок 2 западного уклона пл. m_5	1600	Люди		ЕМ-2500	I		

Продолжение табл.5

	1	2	3	4	5	6	7
	2 западный конвейер- ный уклон пл. m_2	950 Уголь		4000 КЛ	1/5	I	
	514 западный полевой конвейерный штrek	1200 Уголь		4000 КЛА-250 СИ-63 КЛ-150	4 I I		
	Наклонный конвейер- ный квершлаг с пл. m_2 на пл. m_5	300 Уголь		4000 КЛА-250		2	
	Главный конвейерный штrek	500 Уголь		4000 ЛКУ-250		2	
Вариант I	2 западный откаточный штrek пл. ℓ_4 и западный откаточный квершлаг с пл. ℓ_4 на пл. m_5	3300 Уголь, порода		4000 ЗАМ8Д		6	
	II. западный корен- ной откаточный штrek пл. m_5	1500 Порода, материа- лы		ЗАМ8Д		I	
	2 западный конвейер- ный уклон (бремсбер- говая часть) пл. m_2	300 Уголь	800	КЛА-250 КЛ-1/5	I		
	2 западный ходок пл. m_2	750 Материа- лы, по- рода	800	БМ-2500	I		
	2 восточный ходок пл. m_2	750 Люди		БМ-2500	I		
	2 ходок 2 западного уклона пл. m_5	1600 Люди		БМ-2500	I		
	I западный коренной откаточный штrek пл. m_2	1800 Люди		ЗАМ8Д		I	
	I восточный ходок пл. m_2	800 Люди		БМ-2000	I		
Вариант 2	2 западный откаточный штrek пл. ℓ_4 и западный откаточный квершлаг с пл. ℓ_4 на пл. m_5	3300 Порода, материа- лы, люди	800	ЗАМ-8Д	I		

Продолжение табл.5

I	1	2	1	3	1	4	1	5	1	6	1	7
			Западный конвейер-	2100	Уголь	4000-	ИЛЮОК			2		
			ный квершлаг			5000						
			Западный конвейер-	300	Уголь	800	КЛА-250			I		
			ный уклон (брем- сберговая часть)				КЛП/5					
			пл. m_2									
			2 западный ходок	750	Порода, I00		БЛ-2500			I		
			пл. m_2		материя-							
			2 восточный ходок	750	Люди			БЛ-2500		I		
			пл. m_2									

5. Определение экономических показателей сравниваемых вариантов транспорта

Выбор рационального варианта технологической схемы, предусматривающей сокращение многозвездности транспорта, произведен по следующим технико-экономическим показателям:

- суточным эксплуатационным расходам;
- приведенным затратам;
- капитальным затратам;
- величине штата обслуживающего персонала.

Для каждого транспортного звена (табл.5) по формулам табл.5.1-5.6 "Руководства..." определены перечисленные выше технико-экономические показатели.

Суммарные значения каждого показателя по всем звеням транспорта, входящим в рассматриваемые технологические схемы (базовый вариант, вариант I и вариант 2) занесены в сводную таблицу 6.

Результаты расчетов технико-экономических показателей вариантов сокращения многозвездности подземного транспорта западного крыла шахты им.А.В.Абакумова показали, что наиболее экономически целесообразным является вариант 2, предусматривающий полную конвейеризацию доставки угля.

Таблица 6

Результаты расчетов технико-экономических показателей сравниваемых вариантов сокращения многозвездности подземного транспорта

Варианты технологических схем транспорта	Суточные эксплуатационные расходы, Зп., руб.	Суточные приведенные затраты Зп., руб.	Капитальные затраты, К, руб.	Величина штата обслуживающего персонала, чел/сут	Удельные приведенные затраты Зп., руб/т
Базовый вариант	2845	3670	1302300	121	0,91
Вариант 1	1966	2755	2873400	91	0,69
Вариант 2	1207	1626	3237400	52	0,41

Таким образом, к реализации по сокращению многозвездности транспорта принимается вариант 2, внедрение которого целесообразно осуществлять в два этапа: первоначально реализуется вариант 1, а после прохождения западного конвейерного квершлага гор. 561 и полностью заканчивается реализация варианта 2.

Внедрение технологической схемы подземного транспорта по варианту 2 позволит увеличить пропускную способность транспортной цепи по доставке угля на 1000 т/сут и довести суточную добчу западного крыла шахты им. А. А. Абакумова до 5000 т/сут.

6. Определение экономического эффекта

Исходные расчетные данные приведены в табл. 7.

Годовой экономический эффект определяется по формуле

$$\mathcal{E} = [(C - C_i) - E_n (K_i - K)] \Phi_i,$$

где C – себестоимость транспортирования при базовом варианте, руб/т; C_i – себестоимость транспортирования при принятом варианте, руб/т; K и K_i – удельные капитальные вложения на транспорт при базовом и принятом вариантах технологических схем транспорта, руб/т; E_n – нормативный коэффициент эффективности

капитальных вложений, $E_n = 0,15$; \mathcal{D}_t – годовой объем транспортирования угля при принятом варианте технологической схемы транспорта, т.

Таблица 7

Показатели	Варианты		
	базовый	вариант 1	вариант 2
Годовой объем продукции \mathcal{D} , т	1220000	1220000	1220000
Нормативный коэффициент эффективности капитальных вложений E_n	0,15	0,15	0,15
Удельные капитальные вложения K , руб/т	1,07	2,35	2,65
Эксплуатационные издержки C , руб/т	0,71	0,49	0,39

Экономическая эффективность от реализации разработанных технических решений по сокращению многозвездности подземного транспорта составит:

в результате реализации первого этапа

$$\mathcal{E} = [(0,71 - 0,49) - 0,15(2,35 - 1,07)] \cdot 1220000 = \\ = 36,6 \text{ тыс.руб. ;}$$

второго этапа

$$\mathcal{E} = [(0,71 - 0,30) - 0,15(2,65 - 1,07)] \cdot 1220000 = \\ = 207,4 \text{ тыс.руб.}$$

СОДЕРЖАНИЕ

	стр.
1. Общие положения	3
2. Анализ горнотехнических условий работы транспорта	4
3. Разработка возможных вариантов сокращения многозвинности подземного транспорта	5
4. Порядок выбора и расчета транспортного оборудования	10
5. Расчет экономической эффективности возможных вариантов сокращения многозвинности транспорта	20
6. Порядок оформления, рассмотрения и утверждения рекомендаций по сокращению многозвинности транспорта	42
7. Приложения	45

РУКОВОДСТВО
ПО СОКРАЩЕНИЮ МНОГОЗВЕННОСТИ ТРАНСПОРТИРОВАНИЯ
УГЛЯ, ПОРОДЫ И ПЕРЕВОЗКИ ЛЮДЕЙ НА ДЕЙСТВУЮЩИХ
ШАХТАХ МИНУГЛЕНПРОМА УССР

Ответственный за выпуск А.М.Скворцов

Редактор Л.В.Батаева

Подписано к печати 16.11.82 БП № 03893 Формат
60x84/16 Бумага тип № 3 Офсет.печ. Усл.печ.л.6,04
Уч.-изд.л.6,5 Тираж 200 экз. Заказ № 535
Бесплатно

Донецк, 48, ул. Артема, 114. Участок оперативной
полиграфии Донуги